



## รายงานการวิจัย

การเพิ่มการละลายของขมิ้นชันโดยการตกผลึกร่วมกับกรดอะมิโน  
Improvement of curcumin solubility by cocrystal with amino acids

สายฝน อาชนะชัย คอห็นฮอร์สต์

งานวิจัยนี้ได้รับทุนอุดหนุนการวิจัยจากมหาวิทยาลัยราชภัฏนราธิวาสima  
ประจำปีงบประมาณ 2561  
กันยายน 2562

## รายงานการวิจัย

การเพิ่มการละลายของขมิ้นชันโดยการตกผลึกร่วมกับกรดอะมิโน  
Improvement of curcumin solubility by cocrystal with amino acids

ดร. สายฝน อาชนะชัย คอหーンออร์สต์  
หลักสูตรวิทยาศาสตรบัณฑิต<sup>1</sup>  
คณะวิทยาศาสตร์และเทคโนโลยี

งานวิจัยนี้ได้รับทุนอุดหนุนการวิจัยจากมหาวิทยาลัยราชภัฏนราธิวาส  
ประจำปีงบประมาณ 2561

ตุลาคม 2562  
“ลิขสิทธิ์ของมหาวิทยาลัยราชภัฏนราธิวาส”

## สารบัญ

### หน้า

บทคัดย่อภาษาไทย	ก
บทคัดย่อภาษาอังกฤษ	ข
กิตติกรรมประกาศ	ค
สารบัญ	ง
สารบัญตาราง	ฉ
สารบัญภาพ	ช
บทที่ 1 บทนำ	
1.1 ความเป็นมาและความสำคัญของปัญหา	1
1.2 วัตถุประสงค์	2
1.3 ขอบเขตการวิจัย	2
1.4 กรอบแนวคิด	2
1.5 ประโยชน์ที่คาดว่าจะได้รับ	2
บทที่ 2 เอกสารและงานวิจัยที่เกี่ยวข้อง	
2.1 พฤกษาศาสตร์ของขึ้นชั้น	3
2.2 เครื่องคูมิน	5
2.3 การตกผลึกร่วม	10
2.4 กรดอะมิโน	14
บทที่ 3 วิธีดำเนินการวิจัย	
3.1 สังเคราะห์สารประกอบเครื่องคูมินกับกรดอะมิโน	17
3.2 การวิเคราะห์จุดหลอมเหลวของผลึกเดียว	17
3.3 การวิเคราะห์โครงสร้างด้วยเครื่อง	17
ATR Fourier Transform InfraRed Spectrometer	
3.4 การวิเคราะห์โครงสร้างของผลึกเดียวด้วยเครื่อง	18
Single Crystal X-ray Diffractometer	
3.5 การวิเคราะห์พันธะไฮโดรเจนที่พบด้วยโปรแกรม Hirshfeld-Surface analysis	18
บทที่ 4 ผลการดำเนินงาน	
4.1 การวิเคราะห์จุดหลอมเหลว	19
4.2 การวิเคราะห์โครงสร้างด้วย FT-IR	19
4.3 การวิเคราะห์โครงสร้างผลึกเดียว	20
4.4 การวิเคราะห์พันธะไฮโดรเจนด้วยโปรแกรม Hirshfeld-surface analysis	29

## สารบัญ (ต่อ)

บทที่ 5 สรุปและข้อเสนอแนะ	31
บรรณานุกรม	32
ภาคผนวก	38
ประวัตินักวิจัย	46

ชื่อเรื่อง การเพิ่มการละลายของมีนชันโดยการตกผลึกร่วมกับกรดอะมิโน<sup>1</sup>  
ผู้วิจัย ดร.สายฝน อาชนาะชัย คอหనขอร์สต์  
หน่วยงาน คณะวิทยาศาสตร์และเทคโนโลยี มหาวิทยาลัยราชภัฏนครราชสีมา  
ปีที่ทำสำเร็จ 2562

### บทคัดย่อ

ผลึกเครอร์คูมิน ( $C_{21}H_{20}O_6$ ) ในงานวิจัยนี้ได้จากการได้จากการพิจารณาผลึกร่วมกับกรดอะมิโนโดยการผสมตัวทำละลายสองชนิดคือเอทานอลและเมทานอล คัดเลือกผลึกที่เหมาะสมและนำไปศึกษาโครงสร้างโมเลกุลด้วยเทคนิคการฉายแสงผลึกเดียวด้วยเครื่อง Single crystal X-ray diffractometer จากการวิเคราะห์พบว่า เครอร์คูมินในธรรมชาติอยู่ในรูปอินอล การศึกษาแรงยึดเหนี่ยวภายในและภายนอกโมเลกุลของสารเครอร์คูมินพบว่า โมเลกุลของสารเครอร์คูมินมีแรงยึดเหนี่ยวที่เป็นพันธะไฮโดรเจนสองชนิดคือ O—H…O มีความยาวพันธะ 2.467(17)-3.028(2) อังสตรอม และแรงยึดเหนี่ยวแบบอ่อนคือ C—H…O มีความยาวพันธะ 3.550-3.732 อังสตรอม ซึ่งมีรูปแบบการยึดเหนี่ยวของพันธะไฮโดรเจนแบบ  $R^2_6(36)$  การวิเคราะห์พันธะไฮโดรเจนที่พบด้วยโปรแกรม Hirshfeld-surface analysis แสดงให้เห็นว่าโมเลกุลของสารเครอร์คูมินคงความเสถียรในโมเลกุลด้วยพันธะไฮโดรเจนแบบอ่อนเป็นจำนวนมาก ข้อมูลผลึกที่ได้มีดังนี้  $C_{21}H_{20}O_6$  ( $M = 368.37 \text{ g/mol}$ ): monoclinic, space group  $P_{2/n}$  (no. 13),  $a = 12.6956(3) \text{ \AA}$ ,  $b = 7.2093(2) \text{ \AA}$ ,  $c = 19.9362(5) \text{ \AA}$ ,  $\beta = 95.276(2)^\circ$ ,  $V = 1816.96(8) \text{ \AA}^3$ ,  $Z = 4$ .

<b>Title</b>	Improvement of curcumin solubility by cocrystal with amino acid
<b>Researcher</b>	Dr. Saifon Archanachai Kohnhorst
<b>Institute</b>	Faculty of Science and Technology, Nakhon Ratchasima Rajabhat University
<b>Year</b>	2562

### Abstract

Curcumin ( $C_{21}H_{20}O_6$ ) crystal was obtained by the attempt to cocrystallization of curcumin with amino acid in the mixed solvent of ethanol and methanol. A suitable crystal was selected to resolved and refined by single crystal X-ray diffraction. The curcumin structure was existed in the enol form. Analyses of the intramolecular and packing of the molecules indicated that the crystal structures are assembled via two intramolecular interactions in the molecule O—H…O distance of 2.467(17)-3.028(2) Å and the weak C—H…O hydrogen bond distance of 3.550-3.732 Å. The hydrogen bond graph set notation was assigned  $R^2_6(36)$  pattern. Hirshfeld-surface analysis indicated the curcumin crystal structure was stabilized by the weak hydrogen bonds. Crystal Data for  $C_{21}H_{20}O_6$  ( $M = 368.37$  g/mol): monoclinic, space group  $P_{2/n}$  (no. 13),  $a = 12.6956(3)$  Å,  $b = 7.2093(2)$  Å,  $c = 19.9362(5)$  Å,  $\beta = 95.276(2)^\circ$ ,  $V = 1816.96(8)$  Å<sup>3</sup>,  $Z = 4$ .

## กิตติกรรมประกาศ

การวิจัยครั้งนี้ได้รับทุนอุดหนุนการวิจัยจากมหาวิทยาลัยราชภัฏนครราชสีมา ปีงบประมาณ 2561

ผู้วิจัยขอขอบคุณคณะกรรมการและเจ้าหน้าที่สถาบันวิจัยและพัฒนา มหาวิทยาลัยราชภัฏนครราชสีมาทุกท่านที่ให้คำแนะนำในการตรวจแก้ไขรายงานการวิจัยฉบับนี้ให้สมบูรณ์และถูกต้องมากยิ่งขึ้นตลอดระยะเวลาในการทำวิจัยนี้

สายฝน อาชนะชัย คอหินอร์สต์

## สารบัญตาราง

ตาราง	หน้า
2.1 องค์ประกอบที่พับในมีนชัน	4
2.2 โคฟอร์มเมอร์ที่มีคุณสมบัติเหมาะสมในการนำมาตรฐานผลักด้วยร่วมกับเครื่องคูมิน	13
4.1 รายละเอียดโครงสร้างของผลักเดี่ยวเครื่องคูมินในการศึกษานี้	20
4.2 ข้อมูลผลักเดี่ยวของเครื่องคูมิน	24
4.3 แสดงรายละเอียดพันธะไฮโดรเจน	27

## สารบัญภาพ

ภาพที่	หน้า
2.1 ขั้นตอนชั้น	3
2.2 โครงสร้างของเคอร์คูมิน (A) $\beta$ -diketone หรือ keto-enol (B) phenolic (C) alkene linker	5
2.3 โครงสร้างของเคอร์คูมินและอนุพันธ์	6
2.4 เมแทบอไล์ตของขั้นตอนชั้น	7
2.5 ปฏิกริยาการกำจัดอนุมูลอิสระด้วยเคอร์คูมิน	8
2.6 โครงสร้างของกรดอะมิโน 20 ชนิดที่พบในธรรมชาติ	14
4.1 สเปกตรัมของผลึกเคอร์คูมินจากการวิเคราะห์ด้วย Attenuated total reflection Fourier transform infrared	20
4.2 โครงสร้างผลึกของเคอร์คูมิน	22
4.3 การบิดเบี้ยวของวงพีโนลในโครงสร้างของเคอร์คูมิน	23
4.4 การเกิดพันธะไฮโดรเจนในวง enol	25
4.5 พันธะไฮโดรเจนแบบ R26(36) ในโครงสร้างของเคอร์คูมิน	28
4.6 การเกิดพันธะไฮโดรเจนระหว่างโมเลกุลของเคอร์คูมิน	28
4.7 Hirshfeld-surface analysis โครงสร้างผลึกเดี่ยวเคอร์คูมิน	29
4.8 การวิเคราะห์พื้นผิว Hirshfeld ของพันธะไฮโดรเจน	30

## บทที่ 1

### บทนำ

#### 1.1 ความเป็นมาและความสำคัญของปัญหา

ขมิ้นชัน หรือ ขมีน เป็นพืชที่คนไทยใช้เป็นสมุนไพรมาตั้งแต่อดีต โดยส่วนใหญ่ใช้แห้งของขมิ้นชัน มาทำเป็นยาพื้นบ้าน รักษาโรค ทำสีย้อมผ้า และเป็นเครื่องปรุงในอาหาร ปัจจุบันมีการแปรવภาพเป็น ขมิ้นชันผง และได้มีการนำผงขมิ้นชันมาใช้ประโยชน์ในหลายด้าน เช่น เป็นส่วนผสมในเครื่องสำอางต่าง ๆ อาหาร และผลิตเป็นแคปซูลรักษาโรคเกี่ยวกับระบบทางเดินอาหาร เป็นต้น สารสำคัญที่อยู่ในแห้งของ ขมิ้นชันที่แสดงฤทธิ์ทางเภสัชวิทยามีอยู่ 2 ชนิด คือน้ำมันหอมรุจแทรกและสารเคอร์คูมินอยด์ (Curcuminoid) ขมิ้นชันจึงเป็นสมุนไพรที่ทำให้นักวิจัยหัวใจสนใจในส่วนสกัดขมิ้นชันและสารเคอร์คูมินอยด์มารศึกษาฤทธิ์ทางชีวภาพที่หลากหลายเพิ่มขึ้น เช่น ฤทธิ์ต้านอนุมูลอิสระ ฤทธิ์ต้านการอักเสบ ฤทธิ์ ต้านจุลทรรศ์ ฤทธิ์ต้านมะเร็ง ฤทธิ์ต้านเอ็นไซม์ที่เกี่ยวข้องกับโรคอัลไซเมอร์ และยังนำไปศึกษาทางด้าน การเกษตรอีกด้วย

ปัจจุบันวิัฒนาการด้านเทคโนโลยีได้พัฒนาขึ้นมาก มีการนำสมุนไพรขมิ้นชันมาประยุกต์ใช้และ ผลิตออกมานเป็นสินค้าต่าง ๆ ทั้ง ด้านความงาม ยารักษาโรค อาหารเสริม ที่ขายตามห้องตลาด เช่น สบู่ โลชั่น แป้งฝุ่นขมิ้น ครีมบำรุงผิว ครีมหมัก ขมิ้นชันแคปซูลรักษาโรคมะเร็ง ขมิ้นเจลรักษาโรคเรื้อนของ สัตว์เลี้ยง ผลิตภัณฑ์เสริมอาหารผสมขมิ้นชัน และเป็นส่วนผสมในอาหารซึ่งเป็นที่นิยมตั้งแต่เดิมจนถึง ปัจจุบัน เช่น แกงเหลือง แกงกะหรี่ แกงไตปลา และปลาอุดขมิ้น เป็นต้น

นอกจากนี้มีการนำสารเคอร์คูมินอยด์มาเป็นต้นแบบในการพัฒนาโครงสร้างให้ได้สารชนิดต่าง ๆ เพื่อเพิ่มฤทธิ์ทางชีวภาพให้สูงขึ้น ดังนั้นขมิ้นชันจึงเป็นสมุนไพรที่มีประโยชน์มากและเป็นที่ต้องการของ หลาย ๆ ประเทศ ประเทศไทยมีการนำเข้าและส่งออกขมิ้นชันแต่ยังไม่มากนัก อาจเนื่องมาจากปัญหา เรื่องของการผลิตและการแปรવภาพยังมีน้อย รวมทั้งการเกิดผลข้างเคียงจากการบริโภคและคุณสมบัติ ทางด้านการละลาย จึงต้องมีการศึกษาและค้นคว้าวิจัยเพื่อพัฒนาให้เป็นพืชสมุนไพรเศรษฐกิจที่สำคัญอีก ชนิดหนึ่งได้ และยังอาจมีขานิดใหม่ที่ได้จากการพัฒนาสาระสำคัญจากขมิ้นชันเพิ่มขึ้นในอนาคต

## 1.2 วัตถุประสงค์

วัตถุประสงค์ของโครงการวิจัยนี้เพื่อสังเคราะห์ผลีกร่วมขึ้นและกรดอะมิโนและศึกษาคุณสมบัติการละลายของผลีกร่วมขึ้นและกรดอะมิโนในการเพิ่มคุณสมบัติการละลายของสารเคมีคูมินอยด์ให้ได้มากขึ้น

## 1.3 ขอบเขตการวิจัย

การทดลองในระดับห้องปฏิบัติการเพื่อเพิ่มประสิทธิภาพการละลายของสารเคมีคูมินด์ในขึ้นตอนโดยใช้วิธีการบดร่วมกับกรดอะมิโนที่จำเป็น ก่อนนำไปตกผลักด้วยวิธีกราฟิกหรือสารตัวทำละลายที่อุณหภูมิห้อง

## 1.4 ครอบแนวคิด

เคอร์คูมินอยด์ (curcuminoids) จากขึ้นตอน ซึ่งเป็นสารเคมีประเภทโพลีฟีนอล (polyphenolic phytochemical) ออกฤทธิ์ทางด้านชีวเคมีหลายประการ เช่น มีฤทธิ์ต้านการอักเสบ ลดการสร้างอนุมูลอิสระของไขมันและลดระดับโคเลสเตอรอลในเลือด ป้องกันโรคสมองเสื่อม ยับยั้งเชื้อแบคทีเรียและเชื้อรา ที่ทำให้เกิดโรค ประสิทธิภาพของสารเคมีมีนอนด์เหล่าลดลงเนื่องจากคุณสมบัติการละลายไม่ดี จึงทำให้ร่างกายไม่สามารถดูดซึมสารเคมีคูมินอยด์ได้

## 1.5 ประโยชน์ที่ได้รับจากการวิจัย

1.5.1 เป็นแนวทางในการพัฒนาเครื่องดื่มและอาหารเสริมจากสารสกัดขึ้นตอน

1.5.2 พัฒนาการปรับปรุงคุณสมบัติทางเคมีของสารสกัดขึ้นตอนด้วยวิธีที่ปลอดภัย

1.5.3 ลดต้นทุนการผลิตผลิตภัณฑ์เสริมอาหาร ลดภาวะโลกร้อนเนื่องจากใช้สารเคมีที่เป็นมิตรกับสิ่งแวดล้อม

1.5.4 เป็นสื่อการเรียนการสอนเรื่องพันธะไฮโดรเจนในระดับมัธยมศึกษาตอนปลายและมหาวิทยาลัย สำหรับครุเคมี

## บทที่ 2

### เอกสารและงานวิจัยที่เกี่ยวข้อง

#### 2.1 พฤกษศาสตร์ของขมิ้นชัน

ขมิ้นชัน หรือขมิ้น มีชื่อทางวิทยาศาสตร์ว่า *Curcuma longa* L. อุยไนวงศ์ (family) Zingiberaceae สกุล (genus) Curuma (ภาพที่ 2.1) มีชื่อพ้องคือ *C. domestica* Valeton และ *Ammonum curcuma* Jacq (Ammon and Wahl, 1991) ซึ่งห้องถินในประเทศไทยที่ใช้เรียก เช่น ขมิ้น (ทั่วไป) ขมิ้นแกง ขมิ้นหยอก ขมิ้นหัว (เชียงใหม่) ขมิ้น หมิ้น (ภาคใต้) (เต็ม สมิตินันทน์, 2544) เป็นต้น



ภาพที่ 2.1 ขมิ้นชัน

ขมีนวัตกรรมทางพุกษาศาสตร์ คือ เป็น มีลักษณะที่ดี ไม่ล้มลุก มีเหง้าได้ดี เนื้อในสีเหลืองอมส้ม มีกลิ่นหอม ใบออกเป็นรังนกมีติดผิวดิน ภาพหอกแกรมขอบขนาด ดอกออกเป็นช่อ ทรงกระบอก แห้งออกจากเหง้า มีใบ ประดับภาพหอก สีเขียวอ่อนหรือสีขาว เรียงซ้อนกัน รองรับดอกอยู่แต่ละดอก กลีบเลี้ยงเชื่อมติดกัน เป็นภาพท่อ มีขัน กลีบดอกสีขาว โคนเชื่อมติดกันเป็นท่อยาวปลายแยกเป็น 3 แฉก เกสรเพศผู้ลักษณะคล้ายกลีบดอก ยอดเกสรเพศเมียภาพปากแตร รังไข่มี 3 ช่อง แต่ละช่องมีไข่ตัวละ 2 ในองค์ประกอบที่สำคัญที่พบในขมีนชัน (Ak and Guncin, 2008) แสดงในตาราง 2.1

ตาราง 2.1 องค์ประกอบที่พบในขมีนชัน

สาระสำคัญ	ปริมาณ (น้ำหนัก)
เคอร์คูมินอยด์	1-6%
น้ำมันหอมระ夷	3-7%
เส้นใย	2-7%
แร่ธาตุ	3-7%
โปรตีน	6-8%
ไขมัน	5-10%
ความชื้น	6-13%
คาร์บอไฮเดรท	60-70%

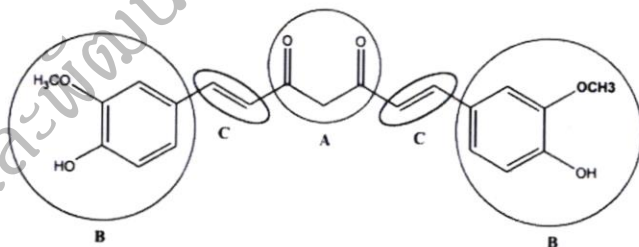
ส่วนที่ใช้เป็นยาและสรรพคุณ ได้แก่ เหง้าใต้ดินบดเป็นผงรักษาแพล แมลงกัดต่อย กลาก geleion ป้องกันและรักษาแพลในกระเพาะอาหาร รักษาอาการท้องเสีย ประเทศไทยและอินเดียนำมาใช้กันอย่างแพร่หลายในภาพของน้ำมันและครีม โดยจะนำมาใช้ในการรักษาแพลสด แพลฟกช้ำ แมลงกัด ต่อย และการนำขมีนมาบดและพอกในการรักษาโรคอีสกอสิสและผีดาษ นอกจากนี้ข้าวอินเดียยังนำขมีนมาใช้ในการรักษาโรคเรื้อง ระบบทางเดินปัสสาวะ โรคตับ และเป็นยาถ่ายพยาธิ (Nelson et al., 2017) จากงานวิจัยที่ผ่านมาเคอร์คูมินเป็นสารสกัดธรรมชาติที่มีฤทธิ์ทางยาในการรักษาและป้องกันโรคหลายชนิด เช่น ต้านการอักเสบ ต้านเอ็ตส ต้านเชื้อแบคทีเรียและเชื้อรา มะเร็ง เบาหวาน ลดระดับไขมัน ต้านอนุมูล

อิสระ ป้องกันความจำเสื่อม และอัลไซเมอร์ จากการค้นพบคุณสมบัติทางยาที่กล่าวมาข้างต้น เคอร์คูมิน จึงเป็นสารที่ดึงดูดความสนใจของนักวิจัยเป็นจำนวนมากในเรื่องความปลอดภัย (generally recognized as safe, GRAS) และสามารถนำมาเป็นส่วนผสมอาหารและยาได้สูงถึง 20 มิลลิกรัม เคอร์คูมินจึงถูกนำมา เป็นส่วนผสมในอาหารเสริมซึ่งได้รับการรับรองความปลอดภัยจากองค์กรอาหารและยา

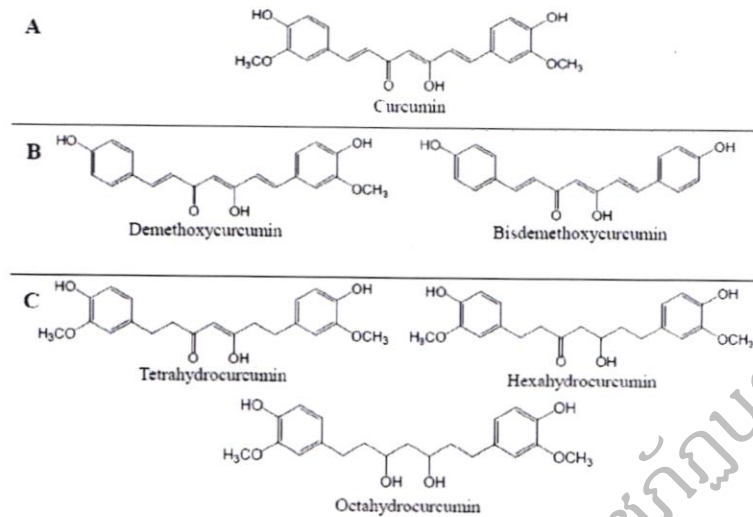
## 2.2 เคอร์คูมิน (Curcumin)

### 2.2.1 คุณสมบัติทางเคมี

เคอร์คูมินหรือเคอร์คูมินอยด์ (curcuminoid) มีโครงสร้างประกอบด้วย เบต้า-ไดคีโตน ( $\beta$ -diketone) วง phenolic 2 วง เชื่อมต่อกับ เบต้า-ไดคีโตนด้วยอัลกีน (ภาพที่ 2.2) มีสูตรทางเคมี  $C_{21}H_{20}O_6$  และมวลโมเลกุล 368.38 ประกอบไปด้วยอนุพันธ์หลัก 3 อนุพันธ์ ดังนี้ Curcumin (1E,6E)-1,7-bis(4-hydroxy-3-methoxyphenyl)-1,6-heptadiene-3,5-dione, A) พบร้อยละ 60-70 demethoxycurcumin พบร้อยละ 20-27 และ bisdemethoxycurcumin (B) พบร้อยละ 10-15 ในขณะเดียวกันยังพบอนุพันธ์ชนิดอื่น ๆ เช่น tetrahydrocurcumin, hexahydrocurcumin และ octahydrocurcumin (C) มีโครงสร้างดังแสดงในภาพที่ 2.3



ภาพที่ 2.2 โครงสร้างของเคอร์คูมิน (A)  $\beta$ -diketone หรือ keto-enol (B) phenolic (C) alkene linker

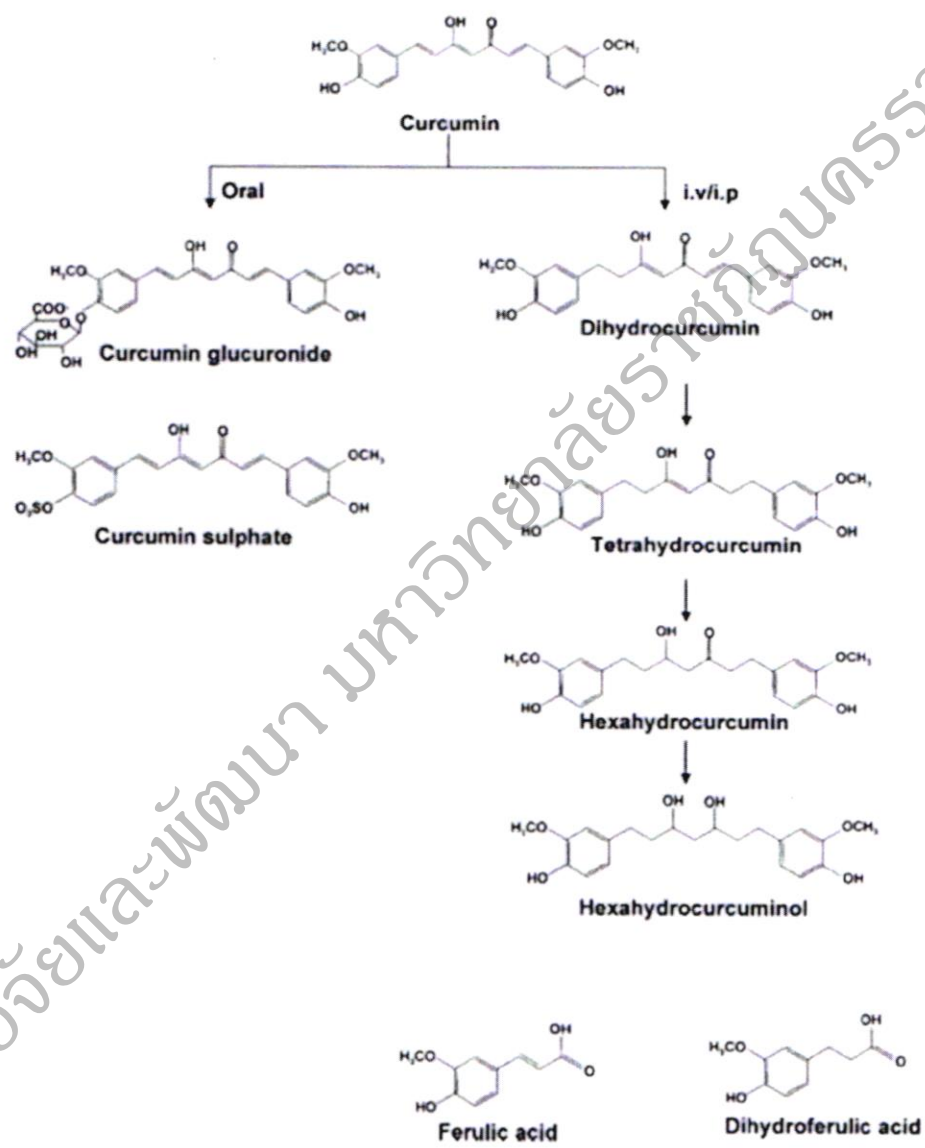


ภาพที่ 2.3 โครงสร้างของเคอร์คูมินและอนุพันธ์

ที่มา : Ravindranath and Chandrasekhara (1980)

การนำเข้ามีนมาใช้ประโยชน์ในการเป็นอาหารเสริมและยาสั่งไม่มีมาก เนื่องจากเคอร์คูมินละลายน้ำได้น้อย (Modasiya and Patel, 2012) มีการคุณชีมที่ไม่ดีซึ่งถูกกำจัดออกจากร่างกายอย่างรวดเร็ว การศึกษาปัจจุบันจึงนิยมน้ำมีนไปใช้ในด้านการผลิตครีมบำรุงผิวหรือยาทาผิวนัง (Anand และคณะ, 2007) อย่างไรก็ตามการศึกษาในช่วงสามทศวรรษที่ผ่านมาเกี่ยวกับการคุณชีม การกระจาย การเผาผลาญอาหารและการกำจัดของมีนชัน ก็ยังพบว่าสั่งมีปัญหาในเรื่องด้านการคุณชีมและการเผาผลาญอาหารอย่างรวดเร็วเช่นเดิม เนื่องจากเคอร์คูมินไม่ละลายในน้ำร้อน ดังเช่น ในปี 1980 Ravindranath และคณะ ได้ศึกษาโดยให้หนูกินมีน 400 มิลลิกรัม หลังจากได้รับมีนชันตั้งแต่ 15 นาที ถึง 24 ชั่วโมง และทำการวิเคราะห์พบริมาณ curcumin ในปริมาณที่น้อยกว่า 5 ไมโครกรัม/มิลลิลิตร หลังจากนั้นในปี 1998 Shoba และคณะ ได้ศึกษาในหนูในลักษณะเดียวกันกับ Ravindranath และคณะ โดยให้หนูกินเคอร์คูมินในปริมาณ 2 กรัม/กิโลกรัม พบร่วมกับน้ำร้อน มีความเข้มข้นของเคอร์คูมินสูงสุดที่ 1.35 (0.23 ไมโครกรัม/มิลลิลิตรในเวลา 0.83 ชั่วโมง) ขณะที่ในน้ำร้อนของคนได้รับเคอร์คูมินขนาดเดียวกัน แต่ไม่สามารถตรวจพบได้หรือมีปริมาณต่ำมาก (0.005 ไมโครกรัมต่อมิลลิลิตรต่อ 1 ชั่วโมง) จากการศึกษา

เหล่านี้แสดงให้เห็นว่าขึ้นมีการละลายในชีรั่มน้อยจึงไม่ถูกดูดซึมเข้าสู่เซลล์และถูกกำจัดออกจากร่างกายอย่างรวดเร็ว กระบวนการเมแทบอไลต์ของขึ้นมีนขั้นดังแสดงในภาพที่ 2.4

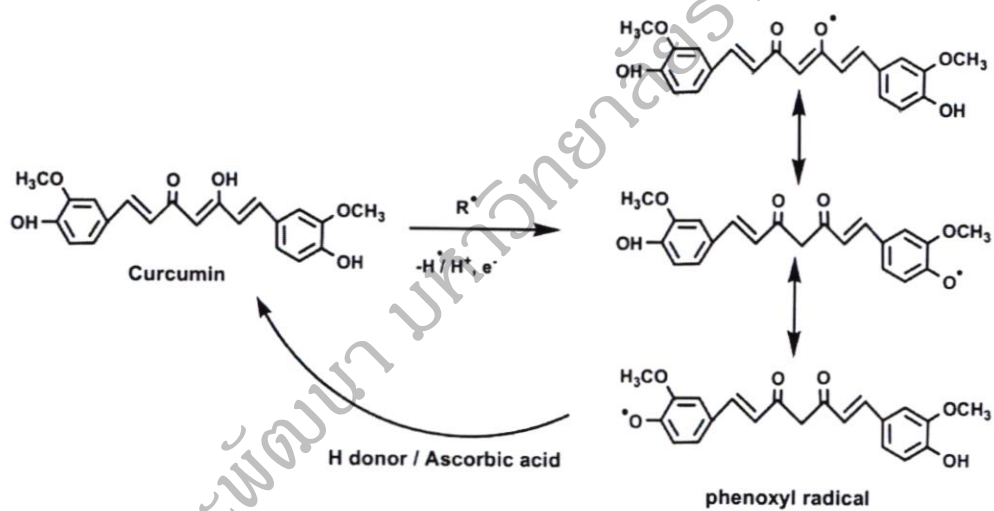


ภาพที่ 2.4 เมแทบอไลต์ของขึ้นมีน

ที่มา : Ravindranath and Chandrasekhara (1980)

### 2.2.2 ฤทธิ์ต้านอนุมูลอิสระ

เนื่องจากการหายใจระดับเซลล์จะเกิดการใช้ออกซิเจนในการเจริญเติบโตของเซลล์จะนำไปสู่การปฏิกิริยาต่อเนื่องของออกซิเจน (ROS) หรือเรียกว่า อนุมูลอิสระ การเกิดอนุมูลอิสระภายในเซลล์เกิดได้จากหลากหลายปฏิกิริยา เช่น การสร้างภูมิคุ้มกัน การหายใจ อนุมูลอิสระดังกล่าวประกอบด้วย ชูเปอร์ออกไซด์ ( $O_2^{\bullet-}$ ) ไฮดรอกซิลแลดิคอล ( $OH^{\bullet}$ ) ไฮโดรเจนเปอร์ออกไซด์ ( $H_2O_2$ ) การเกิดอนุมูลอิสระเหล่านี้ ก่อให้เกิดโรคเรื้อรังต่าง ๆ เช่น การอักเสบของผนังเซลล์ การสูญเสียการทำงานของกรดนิวคลีอิก การเกิดโรคหัวใจและหลอดเลือดแข็งตัว และโรคอินนับร้อยโรค (Ak and Guncin, 2008; Priyadarsini, 2014; Pulido-Moran และคณะ, 2016) เครื่องคูมินมีปฏิกิริยาการกำจัดอนุมูลอิสระดังแสดงในภาพที่ 2.5



ภาพที่ 2.5 ปฏิกิริยาการกำจัดอนุมูลอิสระด้วยเครื่องคูมิน

ที่มา : Ravindranath and Chandrasekhara (1980)

การศึกษาฤทธิ์ต้านอนุมูลอิสระสามารถศึกษาได้โดยการนำขั้นตอนที่สกัดได้มาทำปฏิกิริยากับสารอนุมูลอิสระ เช่น 1,1-diphenyl-2-picryl-hydrazyl (DPPH<sup>•</sup>) 2,2'-azino-bis(3-ethylbenzthiazoline-6-sulfonic acid, ABTS) N,N-dimethyl-p-phenylenediamine dihydrochloride (DMPD) และศึกษา

ปริมาณฤทธิ์ต้านอนุมูลอิสระด้วยวิธี ferric thiocyanate ซึ่งเป็นการวัดการเปลี่ยนของ  $\text{Fe}^{3+}$  ไปเป็น  $\text{Fe}^{2+}$  จากการศึกษาของ Ak และ Guncin (2008) พบว่า ขมิ้นชันมีความสามารถในการลดอนุมูลอิสระได้ จึงแสดงให้เห็นว่า ขมิ้นชันมีคุณสมบัติที่สามารถนำไปพัฒนาเพื่อใช้เป็นส่วนประกอบในอุตสาหกรรมอาหารเสริมเพื่อใช้ในการป้องกันอาการเสื่อมของเนื้อเยื่อต่าง ๆ และช่วยลํา沃้ดี

### 2.2.5 ฤทธิ์ต้านการอักเสบ

ขมิ้นชันมีฤทธิ์ในการต้านการอักเสบสูงเนื่องจากเเคร์คูมินมีองค์ประกอบและโมเลกุลที่แตกต่างกันจึงมีบทบาทสำคัญในการต้านการอักเสบเช่นโดยเฉพาะหลังการผ่าตัด (Jurenka, 2009) เคร์คูมินสามารถต้านการอักเสบโดยการยับยั้งการทำงานของเอนไซม์ cyclooxygenase-2 (COX-2), lipoxygenase แต่กระตุ้นการทำงานของเอนไซม์ nitric oxide synthase (iNOS) งานวิจัยจากหลายประเทศพบว่า เคร์คูมินกัดการทำงานของ nuclear factor-kappa B (NF-KB) และกดการแสดงออกของยีน proinflammatory โดยการยับยั้งการเติมหมู่ฟอสเฟตให้กับเอนไซม์ I-kappa B kinase (IKB) การกดการทำงานของ NF-KB จึงส่งผลให้เกิดการกระตุ้นการทำงานของ COX-2 และ iNOS ต่ำลง ดังนั้น เคร์คูมินจึงสามารถลดการบวม นอกจากนี้ยังมีการวิจัย พบว่าเคร์คูมินอยด์ สามารถใช้เป็นเคมีป้องกันยับยั้งการแพร่กระจายของเซลล์มะเร็งได้ในสัตว์ทดลอง

### 2.2.3 ฤทธิ์ต้านมะเร็ง

การศึกษาฤทธิ์ต้านมะเร็งของขมิ้นชันในมนุษย์ยังเป็นที่น่าสนใจของนักวิจัยทั่วโลก ซึ่งได้มีการทดลองในสัตว์ทดลองพบว่า ขมิ้นชันสามารถยับยั้งเซลล์มะเร็งได้ 3 ระยะดังนี้ ระยะเริ่มต้น (initiation) ระยะสุก累 (promotion) ระยะสุดท้ายหรือการแพร่กระจาย (progression) (Jurenka, 2009) ซึ่ง ขมิ้นชันได้กระตุ้นให้เกิดการทรานสคริปชัน (transcription) ของเซลล์ จึงเป็นการควบคุมการสะสมสารก่อมะเร็งในระยะที่ 1 และระยะที่ 2 ได้ ส่วนในระยะที่ 2 และระยะที่ 3 เคร์คูมินสามารถทำให้ขนาดของเซลล์มะเร็งลดลงโดยการยับยั้งการทำงานของ NF-KB and AP-1 และกระตุ้นกระบวนการกำจัดเซลล์ที่ตาย (apoptosis) ให้ทำงานดีขึ้น

#### 2.2.4 ฤทธิ์ต้านจุลินทรีย์และเชื้อรา

การศึกษาฤทธิ์ต้านจุลินทรีย์ได้มีการศึกษามาอย่างต่อเนื่องโดย Singh และคณะ (2010) ได้สังเคราะห์สารต้านเชื้อแบคทีเรียและไวรัสโดยการสังเคราะห์เคอร์คูมินร่วมกับโปรตีน กรดไขมัน และกรดโพลิก ซึ่งพบว่าสารประกอบที่สังเคราะห์ได้มีฤทธิ์ในการต้านเชื้อแบคทีเรียแกรมบวก แกรมลบ และไวรัสได้ดี โดยมีค่า minimum inhibitory concentration (MIC) อยู่ที่ 0.09 ถึง 0.67 ในปี 2013 เตトラไซโตรเคอร์คูมิน (tetrahydrocurcumin, THC) เป็นอนพันธุ์ที่มีความเสถียรมากกว่าเคอร์คูมินแต่คุณสมบัติและประสิทธิภาพใกล้เคียงกับเคอร์คูมิน Manjunath และคณะ ได้นำ THC มาสังเคราะห์ร่วมกับกรดอะมิโน เช่น อะลานีน (alanine) ไอโซเลูซิน (isoleucin) โพรลีน (proline) วาลีน (valine) พีนิโลล alanine (phenylalanine) ไกลีซีน (glycine) และ ลูซีน (leucine) และทดสอบฤทธิ์ในการต้านเชื้อแบคทีเรีย พบร่วมกับสารประกอบเคอร์คูมินกับกรดอะมิโนมีฤทธิ์ในการต้านเชื้อแบคทีเรีย *Bacillus cereus* *Staphylococcus aureus* *Escherichia coli* และ *Yersinia enterocolitica* มากกว่า THC เพียงอย่างเดียว รวมทั้งยังพบว่าสารประกอบเคอร์คูมินกับวาลีนและลูซีนมีฤทธิ์ในการต้านเชื้อแบคทีเรียแกรมบวกและแกรมลบได้ดี

#### 2.2 การตกผลึกร่วม (Cocrystallization)

นักวิจัยทั่วโลกได้พยายามศึกษาการแก้ปัญหาการละลายของเคอร์คูมินเพิ่มมากขึ้นโดยการสังเคราะห์เคอร์คูมินให้ออกเป็นภาพของสารแขวนลอยนานาโน (Carvalho และคณะ, 2015) สารประกอบเชิงซ้อนนานาโน (Chen และคณะ, 2016) สารประกอบมีนีนและไซโคลเด็กตรินส์ (Mohan และคณะ, 2012) การสังเคราะห์มีนีนร่วมกับกรดอะมิโน (Manjunath และคณะ, 2013) และการตกผลึกร่วม (Goud และคณะ, 2012)

ผลึกร่วม (Cocrystals) หมายถึง ผลึกที่มีสารตั้งแต่ 2 ชนิดหรือมากกว่าที่ยึดเหนี่ยวกันด้วยพันธะเคมีหลาย ๆ พันธะ เรียกว่า ชุปรามोเลคิลาร์ ซินโทน (supramolecular synthons) ซึ่งสามารถพบได้มากมายในสารที่ออกฤทธิ์ทางยาและสารที่นำมาตกผลึกร่วม (Fukte และคณะ, 2014) การตกผลึกร่วมเป็นการปรับปรุงคุณสมบัติทางกายภาพและทางเคมีของโมเลกุลที่ออกฤทธิ์ทางยาให้มีความสำคัญเชิงพาณิชย์และเป็นพื้นฐานการพัฒนาอาหารเสริมและยาในภาพแบบที่เป็นของแข็ง (Goud และคณะ, 2012)

การตกผลึกร่วมสามารถทำได้หลายเทคนิค เช่น การบดร่วมกับทำละลาย การบด การตกผลึกในขณะร้อน การตกผลึกโดยการระเหย การตกผลึกโดยการแพร์ด้วยระบบสองตัวทำละลาย

การตกผลึกร่วมจึงเป็นอีกหนึ่งเทคนิคที่ใช้ในการศึกษาการเรียงตัวของสารที่เกิดขึ้นใหม่ในภาพแบบด้านวิศวกรรมของของแข็งเพื่อเข้าใจพฤติกรรมของเฟสสารละลาย และความสามารถในการละลายได้ (Good and Rodriguez-Hornedo, 2010) เพื่อใช้สำหรับการตรวจคัดกรอง การสังเคราะห์ คุณลักษณะ กระบวนการผลิตในอุตสาหกรรมยา อาหารและอาหารเสริม การตกผลึกร่วมมีความสำคัญเป็นอย่างมาก ในทางเภสัชกรรมโดยเฉพาะการปรับปรุงคุณสมบัติทางเคมีภysis และชีวเภสัชกรรมของยาโดยไม่เกิดการเปลี่ยนโครงสร้างทางเคมี สารที่นำมาตกผลึกร่วมหรือโคฟอร์มเมอร์ (coformers) ที่นิยมนำมาตกผลึกเพื่อปรับปรุงคุณสมบัติการละลาย และความคงตัวของสารมากที่สุดมักอยู่ในภาพของ เกลือ กรด หรือ เปส เนื่องจากมีคุณสมบัติในการแตกตัวได้ดี (ionizable functional group)

การปรับปรุงคุณสมบัติทางเคมีและโครงสร้างเคมีของเคอร์คูมินด้วยวิธีการตกผลึกร่วมเป็นการสังเคราะห์สารที่สามารถลดปริมาณการใช้ตัวทำละลาย และเป็นมิตรกับสิ่งแวดล้อม ซึ่งการสังเคราะห์อาหารเสริมหรือยาโดยการตกผลึกร่วมเป็นการขันน้ำให้เกิดการสร้างพันธะไฮโดรเจน (hydrogen bond) โดยการนำสารชนิดอื่นที่สามารถเกิดพันธะไฮโดรเจนกับเคอร์คูมินได้ เช่น ไฮโดรควิโนน (hydroquinone) และรีโซซินอล (resorcinol) (Sanphaphan และคณะ, 2011) หรือเกิดการสร้างพันธะโคเวเลนซ์ (covalence) ระหว่างโมเลกุลของเคอร์คูมินกับโลหะต่าง ๆ เช่น สังกะสี (zinc, Zn) ทองแดง Copper, Cu) วานเดียม (V) (Wahnginger และคณะ, 2015) ดังนั้นการเลือกสารที่นำมาตกผลึกร่วมหรือโคฟอร์มเมอร์จึงเป็นหัวใจสำคัญในการตกผลึกร่วมเพื่อปรับปรุงคุณสมบัติทางเคมีของเคอร์คูมิน โดยสารที่นำมาตกผลึกร่วมควรจะถูกน้ำได้ดีและมีหมุนพังก์ชันที่สามารถเกิดพันธะไฮโดรเจนกับเคอร์คูมินได้ดี

การศึกษาโครงสร้างผลึกของสารเคอร์คูมินเกิดครั้งแรกโดย Tonnesen และคณะ (1982) ซึ่งนำผงเคอร์คูมินมาละลายในเอทานอลและให้ความร้อนที่อุณหภูมิ 70 องศาเซลเซียสในที่มีดี เติมน้ำกลันลงไปในสารละลายเคอร์คูมินเพียงเล็กน้อย เก็บในตู้เย็นและรอประมาณ 2-3 วัน ผลึกเคอร์คูมินที่ได้ขนาด  $0.6 \times 0.4 \times 0.1$  มม. ໄปเก็บข้อมูลโครงสร้างด้วยเทคนิค X-ray crystallographic จากการศึกษาพบว่า ภาพร่างผลึกจัดอยู่ในกลุ่ม มองคลินิก และ space group เป็น P2/n มีมูม  $a = 20.028(3)$   $b = 7.073(1)$  และมูม  $c = 12.609(2)$  อังสตรอม หลังจากนั้นได้มีการศึกษาโครงสร้างทางผลึกของเคอร์คูมินจนถึง

ปัจจุบัน (Ishikami และคณะ, 1999; Parimita และคณะ, 2007; Sanphui และคณะ, 2011) ชี้ว่าลักษณะของผลึกที่ได้มีลักษณะใกล้เคียงกัน

สารที่นำมาใช้ในการตกผลึกร่วมในงานวิจัยที่ผ่านมา เช่น รีโซรซินอล (resorcinoal) ไฟโรแกลรออล (oxygallol) โฟโรกลูซินอล (phoroglucinol) 4,4'-bipyridine-N,N'-dioxide hydroxyquinone dextrose nicotinamide และ l-lysine ในปี 2011 Sanphui *et al.* ได้สังเคราะห์ผลึกร่วมของเคอร์คูมินกับรีโซรซินอล (resorcinol) และไฟโรแกลลอล (pyrogallol) ด้วยเทคนิคการบดแบบ liquid-assisted พบว่า ได้ผลึกร่วมของเคอร์คูมินกับรีโซรซินอลในอัตราส่วน 1:1 โดยโน้มตามลำดับ และเคอร์คูมิน มีการละลายได้มากกว่าเคอร์คูมินเพียงอย่างเดียว

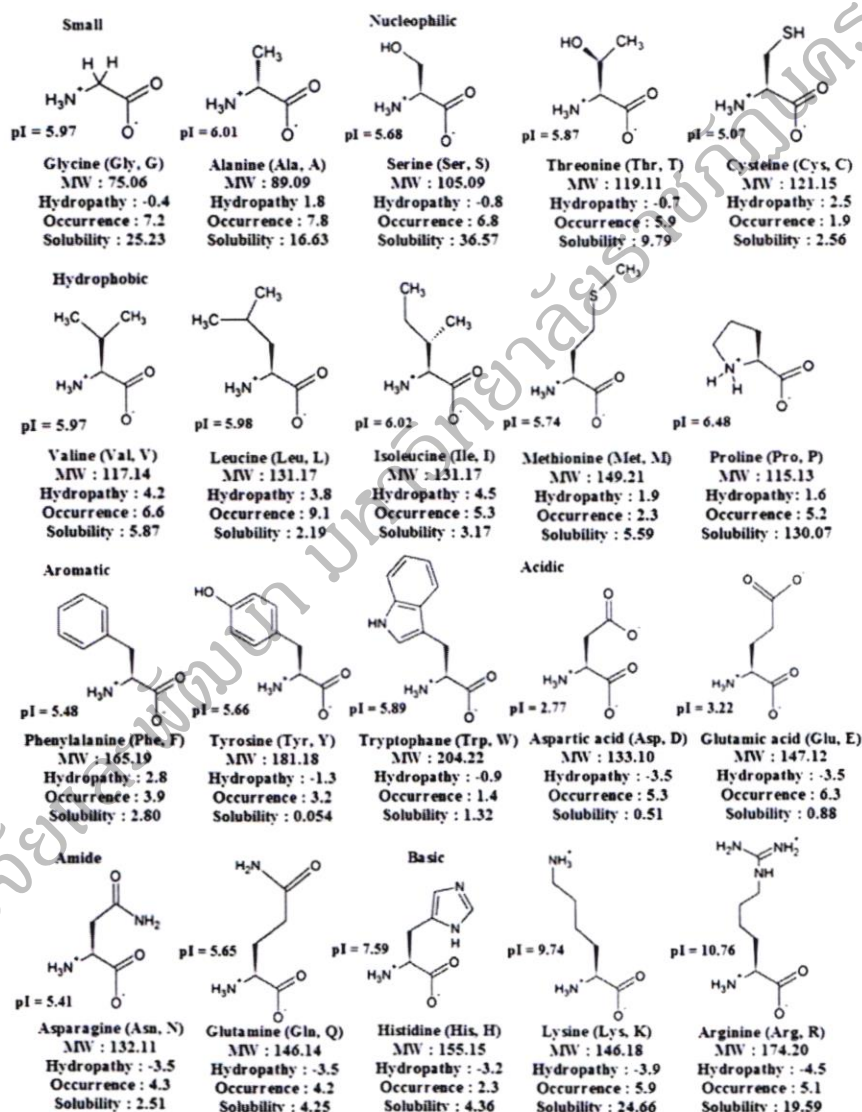
Su และคณะ (2015) สังเคราะห์ผลึกร่วมเคอร์คูมินและ 4,4'-bipyridine-N,N'-dioxide ด้วยเทคนิคการระเหยแบบข้า นำผลึกที่ได้ไปศึกษาโครงสร้างพบรการเกิดพันธะไฮโดรเจน O—H…O ภายในโมเลกุล (intramolecular hydrogen bond) ของเคอร์คูมิน จำนวน 2 พันธะ โดยเกิดขึ้นระหว่างอะตอมออกซิเจนของหมู่ไฮดรอกซิล (-OH) ในวงอินอล (enol ring) ความยาวพันธะที่พบรminor 2.518(2) และ 2.6729(19) อังสตรอม นอกจากนี้ยังพบพันธะไฮโดรเจนภายนอกโมเลกุล (intermolecular hydrogen bond) ที่เกิดการเชื่อมต่อระหว่างอะตอมของออกซิเจนหมู่ไฮดรอกซิลของเคอร์คูมินและอะตอมออกซิเจนของ 4,4'-bipyridine-N,N'-dioxide เกิดเป็นพันธะไฮโดรเจนแบบ O—H…O มีความยาวพันธะเป็น 2.614(2) และ 2.653(2) อังสตรอม นอกจากนี้ยังการเกิดแรงยึดเหนี่ยวแบบ π—π ความยาวเท่ากับ 3.548 อังสตรอม ระหว่างวงบนซึ่งของ 4,4'-bipyridine-N,N'-dioxide เกิดการเชื่อมต่อเป็นเส้นตรงยาว โคฟอร์มเมอร์ (Skieneh และคณะ, 2017) ที่น่าสนใจในการนำมาตกผลึกร่วมเพื่อปรับปรุงคุณสมบัติการละลายและการดูดซึมของเคอร์คูมินให้มีประสิทธิภาพให้ดียิ่งขึ้น (ตาราง 2.2)

ตาราง 2.2 โคฟอร์มเมอร์ที่มีคุณสมบัติเหมาะสมในการนำماتกผลีกร่วมกับเครื่องคูมิน

Coformer	Structure	Coformer	Structure
Adipic acid		L-methionine	
L-arginine		L-phenylalanine	
t-butylhydroxyanisole		Propylparaben	
Capsaicin		Sorbic acid	
Ethylparaben		Suberic acid	
Folic acid		Succinic acid	
L-glutamic acid		L-tryptophan	
Lactose		L-tyrosine	

### 2.3 กรดอะมิโน (Amino acid)

กรดอะมิโน (ภาพที่ 2.3) เป็นหน่วยที่เล็กที่สุดของโปรตีนซึ่งเป็นพอลิเมอร์ชีวภาพที่มีความสำคัญในสิ่งมีชีวิต คุณสมบัติที่สำคัญของกรดอะมิโนแบ่งได้ดังนี้ ความเป็นกรด ความมีช้า ความสามารถในการละลายน้ำ และการติดผลึก คุณสมบัติทางเคมีเหล่านี้ขึ้นอยู่กับหมุนพังก์ชันอะมิโน หมุนคาร์บออกไซติก หรือหัวคิ้ว



ภาพที่ 2.3 โครงสร้างของกรดอะมิโน 20 ชนิดที่พบในธรรมชาติ

กรดอะมิโนและอนุพันธ์ของกรดอะมิโนพบได้ทั่วไปในผลิตภัณฑ์ยา อาหารเสริม และผลิตภัณฑ์ต่างในชีวิตประจำวัน ตัวอย่างที่พบมากที่สุดคือฟีนิลอะลานีน (phenylalanine) และ กรดแอสปาร์ติก (aspartic) ซึ่งเป็นองค์ประกอบของแอสปาร์坦

การนำกรดอะมิโน และอนุพันธ์บางอย่าง เช่น leucine, isoleucine, valine, alanine, phenylalanine, methionine norvaline, norleucine หรือกรด 2-aminobutyric มาตกผลึกร่วมกัน และศึกษาการรวมตัวของ chiral เนื่องจากกรดอะมิโนมีคุณสมบัติในการเป็น zwitterion โดยขึ้นอยู่กับความเป็นกรด-เบส จึงเป็นที่นิยมในนำมาตกผลึกร่วมเพื่อปรับปรุงคุณสมบัติของยาหรือผลิตภัณฑ์อาหารเสริมที่ละลายยาก (Tilborg, Norberg and Wouters, 2014)

Bernal (1931) นำไกลซีน (glycine) ซึ่งเป็นกรดอะมิโนชนิดแรกที่ถูกนำมาศึกษาโครงสร้างด้วยเทคนิคดิฟเฟรคชัน Gorbitz (2015) ได้ศึกษาและรวบรวมข้อมูลโครงสร้างผลึกของกรดอะมิโนหลายชนิด จากฐานข้อมูลเพื่อจำแนกโครงสร้างของกรดอะมิโน จากนั้น Boldyreva (2008) นำกรดอะมิโนถูกมาศึกษาโครงสร้างการเกิดพันธะไฮโดรเจน (hydrogen bond) เพื่อศึกษารูปร่างของแข็งอสังฐาน โดยการตกผลึกและศึกษาคุณสมบัติการเป็นสวิตเตอร์ไอโอน (zwitterion) ปัจจุบันกรดอะมิโนถูกนำมาใช้ในการสังเคราะห์สารประกอบเชิงซ้อนที่มีโลหะเป็นส่วนประกอบ และได้มีการนำกรดอะมิโนชนิดต่างมาศึกษาเรื่อยมาจนถึงปัจจุบัน

โพรลีน (Proline) เป็นกรดอะมิโนที่มีความสำคัญในการตกผลึกร่วม โดยเกิดปฏิกิริยาได้ดี เช่น การเกิดยีดเนียร์ระหว่าง  $\alpha$ -ammonium-carboxylate ในทางตรงกันข้ามโพรลีนเป็นกรดอะมิโนที่มีโครงสร้างที่แข็งแรง ไม่ยืดหยุ่น และละลายน้ำได้ดี แต่ไม่เลกุลในวงแหวนห้าเหลี่ยมมีคุณสมบัติไม่เหมือนกรดอะมิโน จากคุณสมบัติในข้อนี้โพรลีนจึงมีคุณสมบัติที่ดีในการให้พลังงานแก่โคฟอร์มเมอร์ที่เกิดขึ้น (Tilborg, Norberg and Wouters, 2014) และ-โพรลีน (L-Proline) ถูกนำมาใช้ในการตกผลึกร่วมกับลิเรียม แคทไอโอน เกิดเป็นผลึกร่วมไอออนิก และผลึกร่วมนี้ได้รับการยอมรับปริมาณที่ใช้ในการรักษาโรคอาการทางสมองน้อยกว่าการใช้ลิเรียมเพียงอย่างเดียว (Ong, Kavuru, Nguyen, Cantwell, Wojtas, and Zaworotko, 2011)

ไทโรซีน (Tyrosine) ไทโรซีน เป็นกรดอะมิโนชนิดหนึ่งที่ร่างกายสามารถสังเคราะห์ได้ ร่างกายสามารถสังเคราะห์ไทโรซีน ได้จาก ฟีนิลอะลานีน ซึ่งฟีนิลอะลานีน เป็นกรดอะมิโนจำเป็น ร่างกายไม่

สามารถสังเคราะห์เองได้ ต้องรับประทานจากอาหารเท่านั้น โดยเอมไซม์ฟีนิโลลามีนไฮดรอกซีเลส (phenylalaninehydroxylase) เป็นตัวเร่งปฏิกิริยาเปลี่ยน ฟีนิโลลามีน ให้เป็น ไทโรซิน เนื่องจาก ไทโรซิน เป็นสารตั้งต้นของสารต่าง ๆ ที่กล่าวมาข้างต้น จึงมีการนำ ไทโรซิน มาเป็นผลิตภัณฑ์เสริมอาหาร โดยมีการศึกษาวิจัยพบว่า ช่วยกระตุ้นสมอง ลดความเครียด ลดอาการซึมเศร้า (Deijen และคณะ, 1999)

ฟีนิโลลามีน (Phenylalanine) คือ กรดอะมิโน (amino acid) ชนิดหนึ่ง ซึ่งจัดเป็นกรดอะมิโน จำเป็น เนื่องจากร่างกายไม่สามารถสังเคราะห์เองได้ กรดอะมิโนชนิดนี้จึงต้องได้รับจากอาหาร ฟีนิโลลามีน มีสูตรโครงสร้างทางเคมีคือ  $C_6H_5CH_2CH(NH_2)COOH$  เนื่องจากร่างกายสามารถเปลี่ยนฟีนิโลลามีนให้กลายเป็นกรดอะมิโนที่มีชื่อว่าไทโรซินได้ โดยไทโรซินเป็นกรดอะมิโนที่มีความสำคัญในการสังเคราะห์ฮอร์โมนหลายชนิด เช่น เอพิเนฟริน (epinephrine), นอร์เอพิเนฟริน (norepinephrine) และไทรอยด์ฮอร์โมน (thyroid hormone) และเนื่องจากการที่ฮอร์โมนเอพิเนฟรินเป็นฮอร์โมนที่ส่งผลต่ออารมณ์ ถ้าหากร่างกายขาดฟีนิโลลามีนก็จะทำให้เกิดอาการสับสน หดหู่ ขาดความกระปรี้กระเป่าย มีปัญหาเรื่องความจำ เป็นต้น

ปัจจุบันอุตสาหกรรมยาและอาหารได้ตระหนักรถึงความสำคัญในการใช้กรดอะมิโนในการเพิ่มประสิทธิภาพและพัฒนาคุณสมบัติทางเคมีภysis คุณสมบัติทางชีวเภสัชกรรม และเป็นองค์ความรู้พื้นฐานในการพัฒนาใหม่ ๆ เพื่อการบ่มบัดที่ดีอีกด้วย ในการศึกษาที่มีเป้าหมายในการสังเคราะห์สารผลีกร่วมของเคอร์คูมินและกรดอะมิโนเพื่อศึกษาโครงสร้างการเกิดพันธุ์ต่าง ๆ ในโมเลกุล เนื่องจากพันธุ์คุณคูเคอร์คูมินมีความยืดหยุ่นสูงจึงทำให้ภาคร่างและคุณสมบัติของโมเลกุลเปลี่ยนแปลงได้ง่ายและนำมาพัฒนาเป็นยาต้านเชื้อแบคทีเรียใหม่ในอนาคต

## บทที่ 3

### วิธีดำเนินการวิจัย

ขั้นตอนที่ในการวิจัยครั้งนี้เป็นขั้นตอนที่มีส่วนผสมของอนุพันธ์มีน้ำหลายชนิดจากบริษัท Merck (Darmstadt, Germany) สารละลายที่ใช้เป็นในการวิจัยประกอบด้วยเอทานอล (Ethanol, EtOH) เมทานอล (Methanol) และไดเมทธิลซัลฟอกไซด์ (dimethylsulfoxide, DMSO) ที่ใช้สำหรับการวิเคราะห์คุณภาพอาหารและยาเท่านั้น

#### 3.1 สังเคราะห์สารประกอบเครื่องมินกับกรดอะมิโน

สังเคราะห์สารประกอบขั้นแรกกรดอะมิโน โพรลีน (proline) ไทโรซีน (tyrosine) และฟีนิลอะลานีน (phenylalanine) ในอัตราส่วน 1:1 โดยโมล ตามลำดับ นำสารตัวอย่างผสมกันและบดด้วยโกร่งเป็นเวลา 30 นาที โดยหยดสารเอทานอลลงไปในระหว่างบด 3-5 หยด หลังจากนั้นนำสารตัวอย่างที่บดมาล่ำภายนอกและไดเมทธิลซัลฟอกไซด์ในอัตราส่วน 1:1 ปริมาตร 20 มิลลิลิตร และนำไปปรีฟรั๊กซ์ที่อุณหภูมิ 50 องศาเซลเซียส เป็นเวลา 60 นาที นำสารละลายที่ได้กรองด้วยกรรไกรกระดาษกรองขนาด 0.45 ไมครอน และนำสารละลายที่กรองได้ตอกผลึกด้วยวิธีการระเหยตัวทำละลายอย่างช้า (slow vapor diffusion) ที่อุณหภูมิห้อง หลังจากตอกผลึกเป็นเวลา 4 สัปดาห์นำผลึกที่ได้มารังสรรค์ไว้ในกลั่น ผึ่งให้แห้งเพื่อใช้ในการวิเคราะห์ต่อไป

#### 3.2 การวิเคราะห์จุดหลอมเหลวของผลึกเดี่ยว

วัดจุดหลอมเหลวของผลึกขึ้นด้วยเครื่องวัดจุดหลอมเหลว KRUSS melting point meter ในกรอบแต่ละตัวอย่างจะทำการวัด 3 ครั้ง

#### 3.3 การวิเคราะห์โครงสร้างด้วยเครื่อง ATR Fourier Transform InfraRed Spectrometer

นำตัวอย่างผลึกที่ได้บดให้ละเอียดด้วยโกร่งบด และนำตัวอย่างบดลงอุปกรณ์วัดความถี่ 200 – 4000  $\text{cm}^{-1}$  กดให้แน่นด้วยเทนกกดตัวอย่าง ทำการสแกนด้วยรังสีอินฟราเรดความถี่ 200 – 4000  $\text{cm}^{-1}$

### 3.4 การวิเคราะห์โครงสร้างของผลึกเดี่ยวด้วยเครื่อง Single Crystal X-ray Diffractometer

ผลึกเดี่ยวของเคอร์มิน,  $C_{21}H_{20}O_6$  วิเคราะห์ด้วย SuperNova, HyPix3000 diffractometer นำผลึกตัวอย่างติดบนแท่นตัวอย่างด้วยการสำหรับยึดตัวอย่าง และทำการเก็บข้อมูลตัวอย่างที่อุณหภูมิ 298 เคลวิน (K) และวิเคราะห์โครงสร้างและตำแหน่งของอะตอมตัวอย่างด้วยโปรแกรม Olex2 (Dolomanov et al., 2009) ShelXT (Sheldrick, 2015a) และ ShelXL (Sheldrick, 2015b)

### 3.5 การวิเคราะห์พันธะไฮโดรเจนที่พบด้วยโปรแกรม Hirshfeld-Surface analysis

การวิเคราะห์ไฮโดรเจนสามารถทำได้โดยการนำข้อมูลโคออร์ดิเนชันที่ได้จากการวิเคราะห์โครงสร้างผลึกเดี่ยวจากโปรแกรม SHELXL มาวิเคราะห์ด้วยโปรแกรม Hirshfeld-Surface analysis ซึ่งเมื่อเสร็จสิ้นการวิเคราะห์โปรแกรม Hirshfeld-Surface analysis จะแสดงภาพอะตอมตำแหน่งที่เกิดพันธะไฮโดรเจน โดยอะตอมที่เกิดพันธะไฮโดรเจนจะแสดงด้วยสีแดง ส่วนที่เป็นสีน้ำเงินจะแสดงถึงแรงยึดเหนี่ยวระหว่างอะตอมของไฮโดรเจนกับไฮโดรเจนตามลำดับ

## บทที่ 4

### ผลการดำเนินงานและอภิปราย

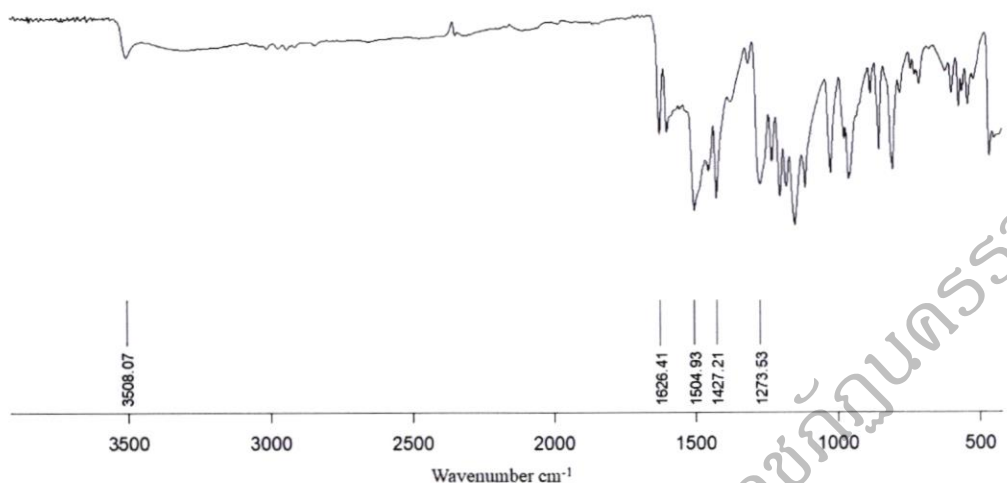
จากการสังเคราะห์และการตกผลึกของสารเคอร์คูมินในเวลา 4 สัปดาห์แล้วนำผลึกที่ได้ไปวิเคราะห์โครงสร้างด้วยเครื่องวัดจุดหลอมเหลว FT-IR และเครื่อง Single Crystal X-ray diffractometer ได้ผลการทดลองดังนี้

#### 4.1 การวิเคราะห์จุดหลอมเหลวของผลึก

จากการวิเคราะห์จุดหลอมของสารเคอร์คูมินบริสุทธิ์และผลึกร่วมของเคอร์คูมินกับกรดอะมิโนทั้ง 3 ชนิด คือ โพรลีน ไทโรซีน และกรดอะมิโน เคอร์คูมินมีค่าจุดหลอมเหลวเท่า 183 องศาเซลเซียส ในขณะที่ผลึกร่วมทั้ง 3 คู่ ได้แก่ เคอร์คูมิน:โพรลีน เคอร์คูมิน:ไทโรซีน และเคอร์คูมิน:ฟีนิโละลาเน็น มีจุดหลอมเหลวอยู่ในช่วง 139.0-141.5 179.2-181.0 และ 178.1-179.1 องศาเซลเซียส ตามลำดับ จากการวิเคราะห์พบว่าจุดหลอมเหลวของผลึกร่วมมีค่าต่ำกว่าจุดหลอมเหลวของเคอร์คูมินที่เห็นข้างบน คือ เคอร์คูมิน:โพรลีน จึงสนับสนุนได้ว่าอาจจะเกิดเป็นผลึกร่วมและนำผลึกดังกล่าวไปวิเคราะห์เพิ่มเติมด้วยเทคนิค FT-IR และ Single crystal X-ray diffractometer

#### 4.2 การวิเคราะห์โครงสร้างด้วย FT-IR

จากการนำผลึกเคอร์คูมินที่ได้มานาดด้วยໂກร່งและนำไปวิเคราะห์ด้วยเครื่อง FT-IR (ภาพที่ 4.1) พบແນບการสันของหมุนฟังก์ชันที่สำคัญได้แก่ หมู่ O-H stretching ซึ่งแสดงเลขค่าคลื่นการสันที่  $3500\text{ cm}^{-1}$  หมู่ C=O หมายเลขค่าคลื่นที่  $1626\text{ cm}^{-1}$  หมู่ C=C ที่  $1504\text{ cm}^{-1}$  หมู่ C-O ที่  $1427\text{ cm}^{-1}$  และหมู่ enol C-O ที่  $1273\text{ cm}^{-1}$  ตามลำดับ จากการวิเคราะห์โครงสร้างของผลึกร่วม เคอร์คูมิน:โพรลีน แสดงให้เห็นว่าผลึกที่ได้จากการสังเคราะห์เป็นผลึกเดี่ยวของสารเคอร์คูมิน เนื่องจากไม่พบແນບการสันที่แตกต่างจากແນບการสันของสารเคอร์คูมินที่เป็นสารตั้งต้น



ภาพที่ 4.1 สเปกตรัมของพลีกเคอร์คูมินจากการวิเคราะห์ด้วย Attenuated total reflection Fourier transform infrared

### 4.3 การวิเคราะห์โครงสร้างพลีกเดี่ยว

จากการนำพลีกเดี่ยวที่ได้ไปถ่ายพลีกและเก็บข้อมูลของพลีกด้วยเครื่องฉายพลีกเดี่ยว ข้อมูลของพลีกเดี่ยวที่ได้แสดงในตาราง 4.1

ตาราง 4.1 รายละเอียดโครงสร้างของพลีกเดี่ยวเคอร์คูมินในการศึกษานี้

Crystal data	
Chemical formula	C <sub>21</sub> H <sub>20</sub> O <sub>6</sub>
M <sub>r</sub>	368.37
Crystal system, Space group	Monoclinic, P2/n
Temperature	298 K
a, b, c (Å)	12.6956(3), 7.2093(2), 19.9362(5)
α, β, γ (°)	90, 95.276(2), 90

ตาราง 4.1 (ต่อ)

## Crystal data

$V$ ( $\text{\AA}^3$ )	1816.96(8)
$Z$	4
$D_{\text{calcd}}$ / g $\text{cm}^{-3}$	1.347
Radiation type	Mo $K\alpha$
$\mu$ ( $\text{mm}^{-1}$ )	0.099

## Crystal collection

Diffractometer	HyPix3000
No. of measured, independent	12874

and

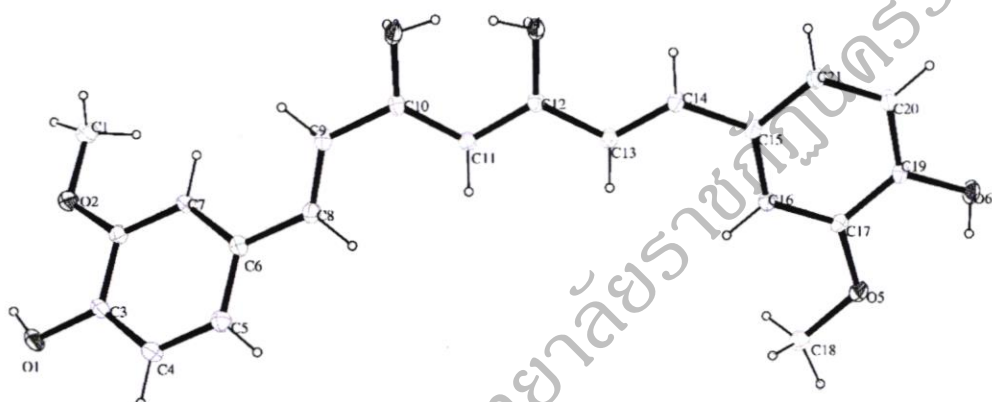
observed [ $|l| > 2\sigma(l)$ ] reflections

$R_{\text{int}}$	0.0418
$(\sin \theta/\lambda)_{\text{max}}$ ( $\text{\AA}^{-1}$ )	

## Refinement

$R[F > 2\sigma(F)]$ , $WR(F 2)$ , $S$	0.052, 0.1662, 1.067
No. of reflections	3956
No. of parameters	249
No. of restraints	0
H-atom treatment	H atoms treated by a mixture of independent and constrained refinement
$\Delta\rho_{\text{max}}, \Delta\rho_{\text{min}}$ (e $\text{\AA}^{-3}$ )	0.26, -0.30

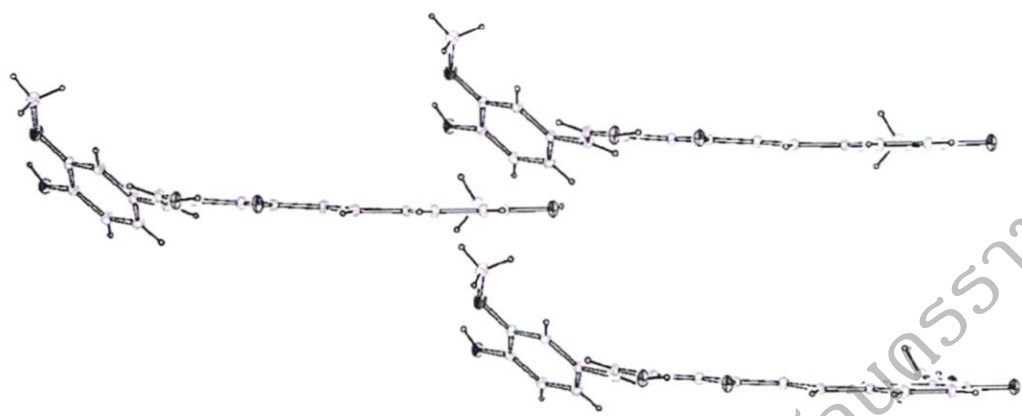
จากการศึกษาและเปรียบโคงสร้างผลึกใหม่กับผลึกที่เคยมีการศึกษาโดย Tonnesen และคณะ (1982) และ Sanphui และคณะ (2011) พบว่า ผลึกใหม่ที่ได้มีความบริสุทธิ์และคุณภาพของผลึกของผลึกชั้ดเจนเช่นเดียวกับงานวิจัยอื่นที่ผ่านมา โคงสร้างผลึกของขึ้นชั้นแสดงในภาพที่ 4.2 ความยาวพันธะและมุมดังแสดงในภาคผนวก



ภาพที่ 4.2 โคงสร้างผลึกของเคอร์คูมิน

วงพินอลในโมเลกุลของเคอร์คูมินเกิดการบิดเบี้ยวโดยการเกิดมุม -152 องศา เกี่ยวกับพันธะ C8—C9 นำไปสู่แหนน A ของโมเลกุลที่ข้อยู่เหนือวงแหนน B ดังแสดงในภาพที่ 4.3

Tonnesen และคณะ ได้ศึกษา ภาพร่างอสัณฐานของผลึกเคอร์คูมินครั้งแรกในปี 1982 และได้มีการเรียกชื่อว่า พอร์ม I และต่อมาได้มีการศึกษาโคงสร้างของเคอร์คูมินย่อยอื่น ๆ (II และ III) โดย Sanphui และคณะ (2011) โคงสร้างใหม่ที่ได้ในการศึกษานี้มีรายละเอียดดังตาราง 4.2 ภาพร่างผลึกใหม่ในการศึกษานี้ถูกรายงานในกลุ่ม monoclinic,  $P_{2/n}$  และรายละเอียดโคงสร้างผลึกใกล้เคียงกับแบบพอร์มกับที่ I ที่ Tonnesen และคณะ (1982) ได้ทำการศึกษาไว้ Ribas และคณะ (2019) ได้ศึกษาคุณสมบัติการละลายของผลึกเดียวเคอร์คูมินโดยการใช้เทคนิคของไฮยิ่งวัดและพบว่าผลึกเดียวเคอร์คูมินสามารถละลายได้ดีกว่าในตัวทำละลายที่เป็นน้ำ

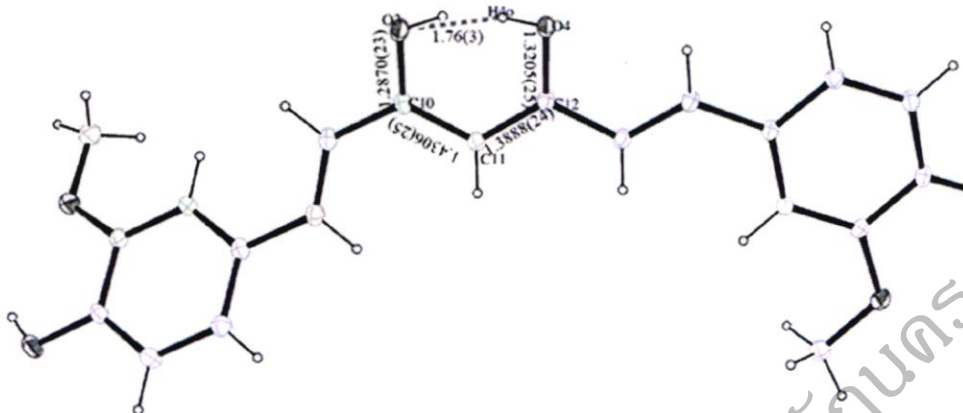


ภาพที่ 4.3 การบิดเบี้ยวของวงฟีโนลในโครงสร้างของเคอร์คูมิน

ตาราง 4.2 ข้อมูลผลลัพธ์เดี่ยวของเคอร์คูมิน

Crystal data	I	II	III	IV (การศึกษา)
Space group	$P2/n$	$Pca2_1$	$Pbca$	$P2/n$
Temperature (K)	100	100	100	298
$a$ , Å	12.5676(11)	35.417(3)	12.536(3)	12.6956(3)
$c$	7.0425(6)	7.7792(7)	7.9916(17)	7.2093(2)
$b$	19.9582(18)	12.6482(11)	34.462(7)	19.9362(5)
$\alpha$ , °	90	90	90	90
$\beta$	94.987(1)	90	90	95.276(2)
$\gamma$	90	90	90	90
$V$ (Å <sup>3</sup> )	1759.8(3)	3484.7(5)	3452.3(13)	1816.96(8)
$D_{calcd}$ /g cm <sup>-3</sup>	1.390	1.404	1.417	1.347
$Z/Z'$	4/1	8/2	8/1	4/1
$R_1[l > 2\sigma(l)]$	0.0435	0.0513	0.0893	0.0512
$wR_2$ (all)	0.1163	0.1218	0.1681	0.1575
Goodness-of-fit	1.054	1.083	0.930	1.087
(S)				

การจำแนกอะตอมในวง enol-ring แสดงไว้ในภาพที่ 4.4 ซึ่งตำแหน่ง H-atom ที่แสดงบนอะตอม O3 และ O4 นั้นไม่เหมือนกัน โดย  $\text{occ}[\text{H}_3\text{O}] = 0.508(31)$  และ  $\text{occ}[\text{H}_4\text{O}]$  มีค่าเท่ากับ 1.000 –  $\text{occ}[\text{H}_3\text{O}]$  ขนาดของอะตอมได้ลัดดรัดความน่าจะเป็นเท่ากับ 50% อะตอมไฮโดรเจนที่ถูกดึงออกมากเป็นทรงกลมขนาดเล็กเพื่อความชัดเจนในการมองเห็นภาพร่างอะตอม



ภาพที่ 4.4 การเกิดพันธะไฮโดรเจนในวง enol

มีการศึกษาและอธิบายเกี่ยวกับธรรมชาติของอะตอมไฮโดรเจน ( $H$ ) อย่างมากมาย เช่น การศึกษาเชิงทฤษฎีสถานะของแข็งของ NMR คุณต้มทางเคมี ของตำแหน่งไฮโดรเจนที่สามารถแก้ไขได้รวมถึงเกี่ยวกับการแยกแจงความน่าจะเป็นของตำแหน่งไฮโดรเจนที่สามารถแก้ไขได้ (Kong และคณะ 2014) Kong และคณะ (2014) ได้ประเมินพลังงานของห้งสามสถานะที่เกี่ยวข้องกับ proton ในที่นี้คือ  $H_3O$  ในโมเดล  $H$ ,  $H_3O^+$  ในโมเดล  $C$ , และ  $H_4O$  ในโมเดล  $H$  ซึ่งมีพลังงานเท่ากับ 0, 5.3, และ 4.7 กิโลจูลต่้อมอล ตามลำดับ Parimita และคณะ (2007) ได้รายงานจากการวิเคราะห์โครงสร้างเรโซแนนซ์และปัจจัยที่เกี่ยวข้องกับพันธะไฮโดรเจน ในรายงานได้ระบุว่าอะตอม enol  $H$  ในโครงสร้างผลึกอยู่ในตำแหน่งสมมาตรจึงทำให้อัตราการเข้าบรรจุในตำแหน่งเต็ม อย่างไรก็ตามจากเอกสารสนับสนุนแสดงให้เห็นว่าปัจจัยที่ทำให้อัตราการเข้าบรรจุในตำแหน่งเต็ม อย่างไรก็ตามจากเอกสารสนับสนุน ก่อนที่จะรวม proton นี้แสดงให้เห็นถึงการขยายตัวของความหนาแน่นของอิเล็กตรอน ก่อนที่จะรวม proton นี้แสดงให้เห็นถึงการขยายตัวของความหนาแน่นของอิเล็กตรอนของ proton ในบริเวณ enolizable ที่ขยายระหว่างอะตอมสอง  $O$  ที่มีความหนาแน่นของอิเล็กตรอนน้อยใกล้กับ  $O_3$  ภาพแบบความแตกต่างของความหนาแน่นอิเล็กตรอนที่คล้ายกันถูกพับในการศึกษาการเลี้ยวเบนของรังสี

เอกสารที่อุณหภูมิห้องของโครงสร้าง tetrahydrocurcumin ที่เกี่ยวข้องกันอย่างใกล้ชิด โดย Girija, Begum, Syed, & Thiruvenkatam (2004) ซึ่งประสบความสำเร็จในการจำลองแบบอะตอมได้เป็นอย่างดี นอกจากนี้ยังมีการสำรวจภาพแบบการจำลองโมเดลหลายแบบสำหรับตำแหน่ง enol ที่ไม่เป็นระเบียบ พบว่าสถิติความผิดปกติ (หนึ่งส่วนสองอะตอมของ H) ที่มีระยะห่าง O - H ที่เป็นระเบียบคล้ายกับ Girija และคณะ (2004) และพารามิเตอร์การกระจัดกระกระจาย isotropic atomic displacement เดียวให้ผลลัพธ์ที่สมเหตุสมผลกับ  $U[H_3O] = U[H_4O] = 0.068 \text{ \AA}^2$  ด้วย

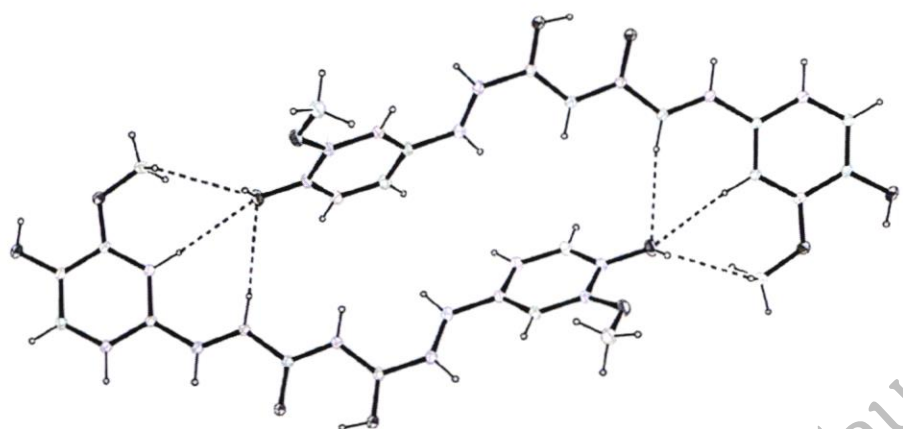
การผ่อนคลายระยะห่างของ O - H ในวง enol ยังทำให้เกิดการแบ่งระยะของอะตอม นำมาซึ่ง การแบ่ง isotropic  $U$  ลงตัวถึง  $0.057 \text{ \AA}^2$ , ซึ่งเป็นระยะที่ทราบกันดีของตำแหน่งของ H อะตอม ในการลบ ข้อจำกัดของค่า  $U$  ที่เท่ากันสำหรับ H อะตอมทั้งสองตำแหน่งในวง enol ทำให้ H อะตอมที่อยู่ใกล้กับ O3 มีขนาดเล็กลง แสดงให้เห็นว่ามีจำนวนอิเล็กตรอนหนาแน่นมาก และอะตอมที่อยู่ O4 มีขนาดใหญ่ขึ้น ซึ่ง เป็นลักษณะของความหนาแน่นของอิเล็กตรอนเบาบาง แบบจำลองสุดท้ายจะจำกัดระยะทางของ O3 - H3O และ O4-H4O ให้ใกล้เคียงกันและมีการปรับค่า  $U$  ทั้งไปและปรับปัจจัยความหนาแน่นอิเล็กตรอน สำหรับ H3O และ H4O มีผลทำให้ความหนาแน่นของอิเล็กตรอนของ H3O สูงขึ้นเล็กน้อย โมเดลสุดท้าย นี้มีผลการรายงานอย่างใกล้ชิดกับโมเดลของ Girija และคณะ (2004) ซึ่งไม่เกิดการ disordered และค่า พลังงานและการกระจายความนำจะเป็นของprotoonที่รายงานโดย Kong และคณะ (2014)

พันธะไฮโดรเจนในโครงสร้างผลึกเดียวเครื่องคูมินดังแสดงในตาราง 4.3 พันธะไฮโดรเจนที่พบได้แก่ O1-H1...O2 เป็นพันธะไฮโดรเจนแบบแข็งแรง มีความยาวพันธะระหว่าง electron donor และ electron acceptor อุyuในช่วง  $2.467(17) - 3.043(2)$  Å องสตรอม ซึ่งเป็นลักษณะเฉพาะของการพันธะ ไฮโดรเจนที่เกิดขึ้นภายในโมเลกุล

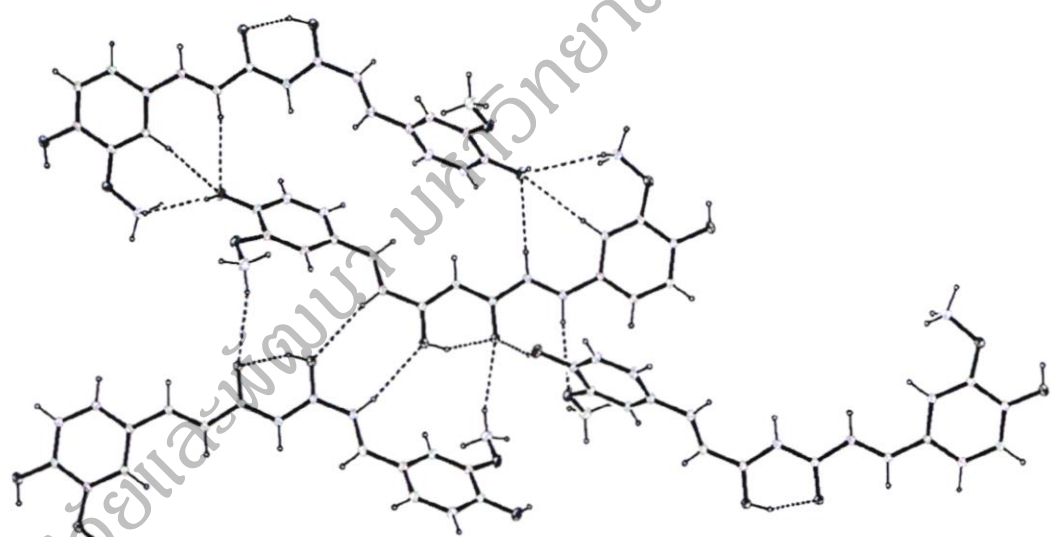
ตาราง 4.3 แสดงรายละเอียดพันธะไฮโดรเจน ( $\text{A}^\circ$ ,  $^\circ$ )

$D-\text{H}\dots\text{A}$	$D-\text{H}$	$\text{H}\dots\text{A}$	$D\dots\text{A}$	$D-\text{H}\dots\text{A}$
O1—H1...O2	0.820	2.250	2.685(2)	113.3
O3—H3...O4	0.820	1.730	2.467(17)	148.6
O6—H6...O5	0.820	2.223	3.043(2)	114.4
O1—H1...O4	0.820	2.100	2.842(2)	150.7 [x-1/2, -y+1/2, z+1/2]
O6—H6...O3	0.820	2.600	3.028(2)	113.7 [x+1, y, z]

พันธะไฮโดรเจนระหว่างโมเลกุลแบบอ่อนที่พับ คือ  $\text{C}-\text{H}\dots\text{O}$  พบมากในการยึดเหนี่ยวระหว่างโมเลกุลของเคอร์คูมินกับโมเลกุลข้างเคียง ดังภาพที่ 4.5 พันธะไฮโดรเจนที่เกิดมีลักษณะเป็น Bifurcated ซึ่ต่อกันกับอะตอมของ O ในวงฟิลด์ด้วยความยาวพันธะ 3.562-3.732 อั้งstrom พันธะไฮโดรเจนที่เกิดขึ้นระหว่างโมเลกุลของเคอร์คูมิน คือ พันธะไฮโดรเจนชนิด  $\text{C}-\text{H}\dots\text{O}$  ซึ่งเป็นพันธะไฮโดรเจนที่มีความแข็งแรงไม่สูงมาก และได้มีการรายไว้ก่อนโดย Sanphui และคณะ (2011) อย่างไรก็ตาม ได้มีการอ่านข้อสัญกรณ์ชุดกราฟนี้ว่า  $R_{\frac{2}{6}}^{(36)}$  (Bernstein, Davis, Shimoni and Chang, 1995; Etter and MacDonald และ Bernstein, 1990) ดังภาพที่ 4.6 การเกิดพันธะไฮโดรเจนที่หลักหลายอาจเป็นปัจจัยที่ส่งผลกระทบอย่างสำคัญต่อการละลายและการดูดซึมของเคอร์คูมิน (Girija, Begum, Syed และ Thiruvenkatan, 2004)



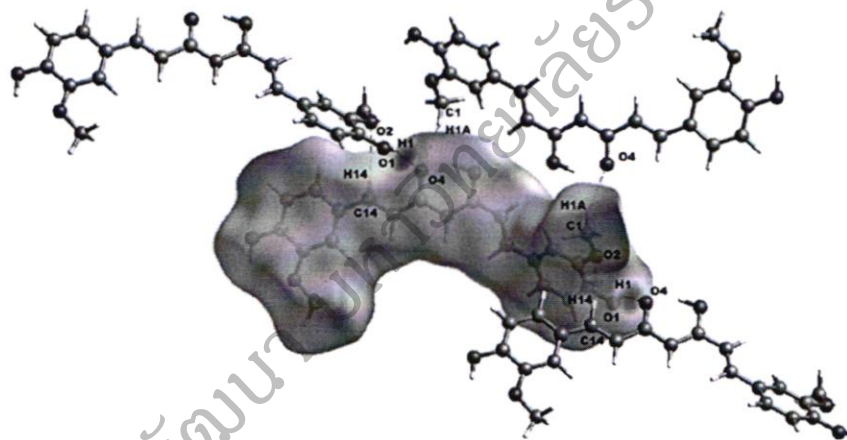
ภาพที่ 4.5 พันธะไฮโดรเจนแบบ  $R^2_6(36)$  ในโครงสร้างของโค厄คูมิน



ภาพที่ 4.6 การเกิดพันธะไฮโดรเจนระหว่างโมเลกุลของโค厄คูมิน

#### 4.4 การวิเคราะห์พันธะไฮโดรเจนด้วยโปรแกรม Hirshfeld-surface analysis

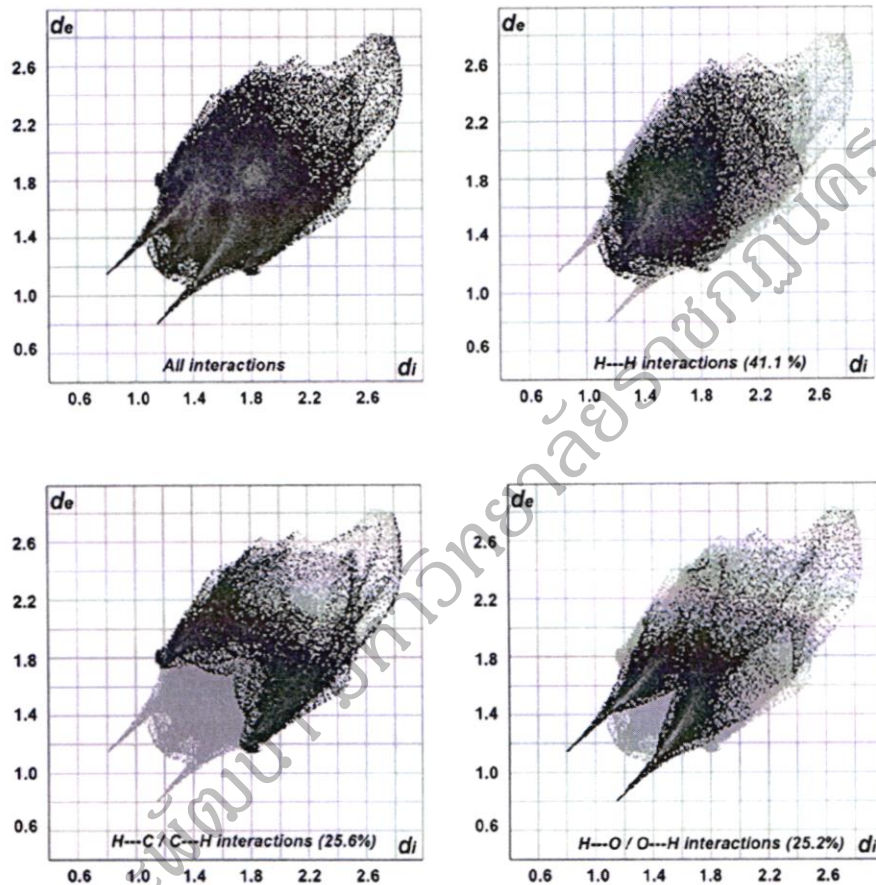
ในรายงานได้มีการศึกษาปฎิสัมพันธ์ระหว่างโมเลกุลของสารประกอบซึ่งจะถูกวัดปริมาณโดยใช้การวิเคราะห์ด้วยโปรแกรม Hirshfeld-surface analysis เป็นเครื่องมือที่มีประโยชน์ในการวิเคราะห์การมีปฏิสัมพันธ์ระหว่างโมเลกุลในโครงสร้างผลึก (Spackman และ Mckinnon, 2002; Spackman และ Jayatilaka, 2009). จากภาพที่ 4.7 แสดงอะตอมที่เกิดพันธะไฮโดรเจนในโมเลกุล จุดสีแดงบนพื้นผิวระบุการเกิดพันธะไฮโดรเจนที่เข้มต่อ กันระหว่างโมเลกุลที่เกี่ยวข้องในพันธะไฮโดรเจนซึ่งมีการเชื่อมต่อดังนี้ O1—H1…O4 C1—H1a…O4 และ C14—H14…O2 ตามลำดับ



ภาพที่ 4.7 Hirshfeld-surface analysis โครงสร้างผลึกเดียวเครอร์คูมิน

ภาพที่ 4.8 แสดงการเกิดแรงดึงดันระหว่าง H…H C—H และ H…O พบร้อยละ 41.1, 25.6 และ 25.2 ตามลำดับ ใน การศึกษาจะเห็นว่าปฏิสัมพันธ์ในการบรรจุโมเลกุลของเครอร์คูมินเป็นระยะทางสัมผัสที่นานขึ้นซึ่งสอดคล้องกับ Desiraju (2005) ที่อธิบายการเกิดพันธะไฮโดรเจนของวงเบนซินจะไม่เกิดการสร้างพันธะไฮโดรเจนชนิด C—H…O (Sarma และ Desiraju, 1987) นอกจากนี้ผลึกของเครอร์คูมินจะ

มีแรงยึดเหนี่ยวอย่างอื่นเกิดขึ้นในโครงสร้าง และทำหน้าที่ยึดเหนี่ยวเกิดเป็นเครือข่ายและก่อให้เกิดความเสถียรในโมเลกุลของเคอร์คูมิน เช่น แรงยึดเหนี่ยว  $H\cdots H$



ภาพที่ 4.8 การวิเคราะห์พื้นผิว Hirshfeld ของพันธะไฮดรเจน a) แรงยึดเหนี่ยวทุกชนิด b) แรงยึดเหนี่ยว  $H\cdots H$  c) แรงยึดเหนี่ยว  $H\cdots C$  d) แรงยึดเหนี่ยว  $H\cdots O$

## บทที่ 5

### สรุปและข้อเสนอแนะ

#### 5.1 สรุป

จากการวิจัยการทดลองร่วมของสารเคมีกับกรดอะมิโนในครั้งนี้ พบว่า ผลึกที่ได้ไม่เกิดผลึกร่วมกับกรดอะมิโนชนิดใด ๆ ผลึกที่เป็นเพียงผลึกเดียวของสารเคมีชนิดเดียว จากการนำผลึกเดียวที่ได้ไปวิเคราะห์โครงสร้างด้วยเครื่องถ่ายผลึกเดียวในครั้งนี้แสดงให้เห็นถึงพันธะที่เกิดขึ้นภายในโมเลกุลของเคมี ซึ่งอาจจะเป็นปัจจัยที่ก่อให้เกิดปัญหาสำคัญของสารสกัดจากขมิ้นชันในการนำมาใช้เป็นสารออกฤทธิ์ทางสมุนไพร หรืออาหารที่มีประโยชน์ คือ ความสามารถในการละลายและการดูดซึมต่ำ การศึกษานี้เป็นการให้ข้อมูลของโครงสร้างขมิ้นชันในการเกิดพันธะทางเคมี โดยเฉพาะ พันธะไฮโดรเจน ซึ่งเป็นพันธะที่พบมากในสารอินทรีย์และสารชีวโมเลกุล พันธะไฮโดรเจนที่พบมากในโครงสร้างผลึกเดียวเคมี ได้แก่ O-H…O C-H…O และ π-π interaction ตามลำดับ O-H…O เป็นพันธะไฮโดรเจนที่เกิดขึ้นทั้งภายในโมเลกุลของสารเคมี ส่วน C-H…O เป็นพันธะไฮโดรเจนที่เกิดขึ้นภายนอกโมเลกุลทำหน้าที่เชื่อมโยงระหว่างโมเลกุลของเคมีเข้าด้วยกัน นอกจากนี้ยังพบแรงยึดเหนี่ยวแบบ π-π ที่เกิดจากวงเบนซินของสารสกัดเคมีมาซ่อนทับกัน หรือเหลือมกันเป็นจำนวนมากอีกด้วย จากการศึกษาครั้งนี้สามารถนำข้อมูลที่ได้ไปใช้ในการปรับปรุงหรือเปลี่ยนโครงสร้างของเคมีในรูปแบบของแข็งที่ละลายน้ำได้มากขึ้น หรือทำให้เกิดการละลายน้ำได้เร็วขึ้นเพื่อนำไปใช้สำหรับการพัฒนา ยาภัณฑ์ อาหารเสริม และเครื่องดื่มในอนาคต

#### 5.2 ข้อเสนอแนะ

5.2.1 ควรปรับวิธีการทดลองหรือเปลี่ยนวิธีการสังเคราะห์เพื่อหาสภาวะที่เหมาะสมปฏิริยาการสังเคราะห์ผลึกร่วม

5.2.2 เปลี่ยนชนิดของสารที่เข้าทำปฏิริยาโดยเลือกสารที่ค่าอิเล็กโตรเนutrality ที่สูงขึ้น หรือสารที่มีความสามารถในการให้อิเล็กโตรอนสูง

5.2.3 ควรเพิ่มการทดสอบการละลายเพื่อยืนยันประสิทธิภาพการสังเคราะห์ผลึกร่วม

5.2.4 ความเพิ่มการวิเคราะห์เชิงความร้อน เช่น DSC TGA เพื่อวิเคราะห์หมุนฟังก์ที่มีโครงสร้างไกล์เคียงกัน

## บรรณานุกรม

เต็ม สมิตินันทน์. (2544). ชื่อพรรณไม้แห่งประเทศไทย (ฉบับแก้ไขเพิ่มเติม พ.ศ. 2544). กรุงเทพฯ: ส่วนพุกษาศาสตร์ป้าแม่ สำนักวิชาการป้าแม่ กรมป้าแม่.

Ammon H.P.T and Wahl M.A. (1991). Pharmacology of Curcuma longa. *Planta Medica*, 57, 1–7.

Ak, T. and Gulcin, G. (2008). Antioxidant and radical scavenging properties of curcumin. *Chemico-Biological Interactions*, 174, 27–37.

Anand, P., Kunnumakkara, A. B., Newman, R. A., & Aggarwal, B. B. (2007).

Bioavailability of curcumin: Problems and promises. *Molecular Pharmaceutics*, 4, 807–818.

Arrieta, A. F., Haglund, K. A., & Mostad, A. (2000). Conjugation and hydrogen bonding in a curcumin analogue. *Acta Crystallography Section C*, 56(Pt 12), e594-e595. DOI: 10.1107/S0108270100015729

Bernal J. D. (1931). The crystal structure of the natural amino acids and related compounds. *Zeitschrift für Kristallographie, Kristallgeometrie, Kristallphysik, Kristallchemie*, 78, 363–369.

Bernstein, J., Davis, B. E., Shimoni, L., & Chang, N.-L. (1995). Patterns in hydrogen bonding: Functionality and graph set analysis. *Angewandte Chemie International Edition England*, 34(15).

Boldyreva, E. (2008). CRYSTALLINE AMINO ACIDS: A link between chemistry, materials science and biology. *Models, Mysteries and Magic of Molecules*, 167–192.

Chavda, H. V., Patel, C. N., & Anand, I. S. (2010). Biopharmaceutics Classification System. *Systematic Reviews in Pharmacy*, 1(1), 62-69.

- Chen, S., Zhang, N., Tang C. (2016). Influence of nanocomplexation with curcumin on emulsifying properties and emulsion oxidative stability of soy protein isolate at pH 3.0 and 7.0. *Food Hydrocolloids*, 61, 102–112.
- Carvalho, D.M., Takeuchi, K.P., Geraldine, R.M., Moura, C.J., and Torres, M.C.L. (2015). Production, solubility and antioxidant activity of curcumin nanosuspension. *Food Science and Technology*, 35(1): 115–119.
- Deijen, J.B., EWientjes, C.J. E., Vullings, H.F.M., Cloin P.A., Langefeld, J.J. (1999). Tyrosine improves cognitive performance and reduces blood pressure in cadets after one week of a combat training course. *Brain Research Bulletin*, 48(2), 203-209.
- Desiraju, G. R. (2005). C–H…O and other weak hydrogen bonds. From crystal engineering to virtual screening. *Chemistry Communication*, 2005 Jun 28(24), 2995-3001.
- Desiraju, G. R. (2018). Crystal engineer, crystals and crystallography. *IUCrJ*, 5(Pt 6): 660-660.
- Dolomanov, O. V., Bourhis, L. J., Gildea, R. J., Howard, J. A. K., & Puschmann, H. (2009). *OLEX2*: a complete structure solution, refinement and analysis program. *Journal of Applied Crystallography*, 42(2), 339-341.
- Etter, M., MacDonald, J. C., & Bernstein, J. (1990). Graph-set analysis of hydrogen-bond patterns in organic crystals. *Acta Crystallography section B*, 46(Pt 2), 256-262.
- Farrugia, L. J. (2012). *WinGX* and *ORTEP* for Windows: an update. *Journal of Applied Crystallography*, 45(4), 849-854.
- Fukte, S. R., Wagh, M. p. and Rawat, S. (2014). Coformer selection: An important tool in cocrystal formation. *International Journal of Pharmacy and Pharmaceutical Science*. 6(7), 9-14.

- Girija, C. R., Begum, N. S., Syed, A. A. & Thiruvenkatam, V. (2004). Hydrogen-bonding and C—H $\cdots$  $\Pi$  interactions in 1,7-bis(4-hydroxy-3-methoxyphenyl)heptane-3,5-dione (tetrahydrocurcumin). *Acta Crystallographica Section C*, 60(Pt 8), o611-o613.
- Good, D.J. and Rodriguez-Hornedo, N. (2010). Cocrystal Eutectic Constants and Prediction of Solubility Behavior. *Crystal Growth and Design*, 10, 1028–1032.
- Görbitz, C. H. (2015). Crystal structures of amino acids: from bond lengths in glycine to metal complexes and high-pressure polymorphs. *Crystallography Reviews*. 160-212.
- Goud, N. R., Suresh, K., Sanphui, P. and Nangia, A. (2012). Fast dissolving eutectic compositions of curcumin. *International Journal of Pharmaceutics*, 439, 63–72.
- Hubschle, C. B., Sheldrick, G. M., & Dittrich, B. (2011). ShelXle: a Qt graphical user interface for SHELXL. *Journal of Applied Crystallography*, 44, 1281-1284. DOI: 10.1107/S0021889811043202
- Hutchins, K. M. (2018). Functional materials based on molecules with hydrogen-bonding ability: applications to drug co-crystals and polymer complexes. *Royal Society Open Science*, 5, 180564.
- Ishigami, Y., Goto, M., Masuda, T., Takizawa, Y. and Suzuki, S. (1999). The crystal structure and the fluorescent properties of curcumin. *Journal of the Japan Society of Colour Material*, 72, 71-77.
- Jurenka, J.S. (2009). Anti-inflammatory Properties of Curcumin, a Major Constituent of Curcuma longa: A Review of Preclinical and Clinical Research. *Alternative Medicine Review*, 14, 141–153.
- Jeffrey, G. A., and Saenger, W. (1991). Hydrogen Bonding in Biological Structures. New York, USA: Springer.

- Kong, X., Brinkmann, A., Terskikh, V., Wasylisen, R. E., Bernard, G. M., Duan, Z., . . . Wu, G. (2014). Proton probability distribution in the O<sup>···</sup>H<sup>···</sup>O low-barrier hydrogen bond: A combined solid-state NMR and quantum chemical computational study of dibenzoylmethane and curcumin. *Journal of Physical Chemistry B*, 120(45), 11692–11704.
- Manjunath, J.R., Bettadaiah, B.K., Negi, P.S. and Srinivas, P. (2013). Synthesis of amino acid conjugates of tetrahydrocurcumin and evaluation of their antibacterial and anti-mutagenic properties. *Food Chemistry*, 139, 332–338.
- Matlinska, M. A., Wasylisen, R. E., Bernard, G. M., Terskikh, V. V., Brinkmann, A., & Michaelis, V. K. (2018). Capturing elusive polymorphs of curcumin: A structural characterization and computational study. *Crystal Growth and Design*, 18(9), 5556–5563. DOI: 10.1021/acs.cgd.8b00859
- Modasiya, M. K., & Patel, V. M. (2012). Studies on solubility of curcumin. *International Journal of Pharmacy & Life Sciences*, 3(3), 1490–1497.
- Mohan, P. R. K., Sreelakshmi, G., Muraleedharan, C. V., and Joseph, R. (2012). Water soluble complexes of curcumin with cyclodextrins: Characterization by FT-Raman spectroscopy. *Vibrational Spectroscopy*, 62, 77–84.
- Mostad, A. (1994). Structure studies of curcuminoids. VIII. Crystal and molecular structure of 4-benyl-1,7-diphenyl-1,6-heptadiene-3,5-dione. *Acta Chemica Scandinavica*, 48, 144–148.
- Nangia, A. K., & Desiraju, G. R. (2018). Crystal Engineering. An Outlook for the Future. *Angewandte Chemie International Edition*, 58(13), 4100–4107. DOI: 10.1002/anie.201811313

- Nelson, K. M., Dahlin, J. L., Bisson, J., Graham, J., Pauli, G. F. and Walters, M. A. (2017). The essential medicinal chemistry of curcumin. *Journal of Medicinal Chemistry*, 60, 1620-1637.
- Ong, T. T., Kavuru, P., Nguyen, T., Cantwell, R., Wojtas, Y. and Zaworotko, M. J. (2011). Cocrystals of homochiral and achiral amino acid zwitterions with Li<sup>+</sup> salts: waterstable zeolitic and diamondoid metal organic materials. *The Journal of American Society*, 133, 9224-9227.
- Parimita, S. P., Ramshankar, Y.V., Suresh, S. and Guru Row, T. N. (2007). Redetermination of curcumin: (1E, 4Z, 6E)-5-hydroxy-1,7-bis(4-hydroxy-3-methoxy-phenyl)hepta-1,4-trien-3-one). *Acta crystallographica*. E63, o860-o862.
- Priyadarsini, K. I. (2014). The chemistry of curcumin: From extraction to therapeutic agent. *Molecules*, 19, 20091-20112.
- Pulido-Moran, M., Moreno-Fernandez, J., Ramirez-Tortosa, C., and Ramirez-Tortosa, M. (2016). Curcumin and Health. *Molecules*, 21, 264-283.
- Ribas, M. M., Sakata, G. S. B., Santos, A. E., Magro, C. D., Aguiar, G.-P S., Lanza, M., & Oliveira, J. V. (2019). Curcumin cocrystals using supercritical fluid technology. *The Journal of supercritical fluids*, 152, 104564.
- Ravindranath, V. and Chandrasekhara, N. (1980). Absorption and tissue distribution of curcumin in rats. *Toxicology*, 16 (3), 259-265.
- Sanphui, P., Goud, N. R., Khandavilli, R. U. B., Bhanoth, S., & Nangia, A. (2011). New polymorphs of curcumin. *Chemistry Communication*, 47, 5013-5015.
- Sanphui, P., Goud, N. R., Khandavilli, R. U. B., & Nangia, A. (2011). Fast Dissolving Curcumin Cocrystals. *Crystal Growth and Design*, 11(9), 4135-4145.
- Sathisaran, I., & Dalvi, S. V. (2017). Crystal engineering of curcumin with salicylic acid and hydroxyquinol as coformers. *Crystal Growth and Design*, 17(7), 3974-3988.

- Sarma, J. A. R. P., & Desiraju, G. R. (1987). C—H···O interactions and the adoption of 4 Å short-axis crystal structures by oxygenated aromatic compounds. *Journal of Chemical Society Perkin Transaction II*, 1195-1202.
- Sheldrick, G. M. (2015a). SHELXT—Integrated space-group and crystal structure determination. *Acta Crystallographica Section A*, 71, 3-8.
- Sheldrick, G. M. (2015b). Crystal structure refinement with SHELXL. *Acta Crystallographica Section C*, 71, 3-8.
- Singh, R. K., Rai, D., Yadav, D., Bhargava, A., Balzarini, J., Clercq, E. De. (2010). Synthesis, antibacterial and antiviral properties of curcumin bioconjugates bearing dipeptide, fatty acids and folic acid. *European Journal of Medicinal Chemistry*, 45, 1078–1086.
- Skineh, J. M., Sathisaran, I., Dalvi, S. V., & Rohani, S. (2017). Co-amorphous form of curcumin-folic acid dehydrate with increased dissolution rate. *Crystal Growth and Design*, 17, 6273-6280.
- Spackman, M. A., & Jayatilaka, D. (2009). Hirshfeld surface analysis. *Crystal Engineering Communication*, 11, 19-32.
- Su, H., He, H., Tian, Y., Zhao, N., Sun, F., Zhang, X., Jiang, Q. and Zhu, G. (2015). Syntheses and characterizations of two curcumin-based cocrystals. *Inorganic Chemistry Communications*, 55, 92-95.
- Tilborg, A., Norberg, B., and Wouters, J. (2014). Pharmaceutical salts and cocrystals involving amino acids: A brief structural overview of the state-of-art. *European Journal of Medicinal Chemistry*, 74, 411–426.
- Tonnesen, H. H., Karlsen, J. and Mostad, A. (1982). Structural studies of curcuminoids. I. The crystal structure of curcumin. *Acta Chemica Scandinavica B*. 36, 475-479.

Wanninger, S., Lorenz, V., Suphan, A. and Edelman, F. T. (2015). Metal complexes of curcumin-synthetic strategies, structures and medicinal applications. *Chemical Society review*, 44, 4986-5002.

ກາຄົນວກ

Supporting information

Table 1 Crystal data and polymorphs.

Crystal data	I	II	III	IV
Space group	<i>P</i> 2/n	<i>Pca</i> 2 <sub>1</sub>	<i>Pbca</i>	<i>P</i> 2/n
Temperature (K)	100	100	100	298
<i>a</i> , (Å)	12.5676(11)	35.417(3)	12.536(3)	12.6956(3)
<i>c</i>	7.0425(6)	7.7792(7)	7.9916(17)	7.2093(2)
<i>b</i>	19.9582(18)	12.6482(11)	34.462(7)	19.9362(5)
$\alpha$ , (°)	90	90	90	90
$\beta$	94.987(1)	90	90	95.276(2)
$\gamma$	90	90	90	90
<i>V</i> (Å <sup>3</sup> )	1759.8(3)	3484.7(5)	3452.3(13)	1816.96(8)
D <sub>calcd</sub> /g cm <sup>-3</sup>	1.390	1.404	1.417	1.347
Z/Z'	4/1	8/2	8/1	4/1
<i>R</i> <sub>1</sub> [ <i>I</i> > 2 $\sigma$ ( <i>I</i> )]	0.0435	0.0513	0.0893	0.052
w <i>R</i> <sub>2</sub> (all)	0.1163	0.1218	0.1681	0.1662
Goodness-of-fit ( <i>S</i> )	1.054	1.083	0.930	1.067

Table 2 Crystal data and structure refinement for curcumin

Identification code	curcumin
Empirical formula	C <sub>21</sub> H <sub>20</sub> O <sub>6</sub>
Formula weight	368.37
Temperature/K	298
Crystal system	monoclinic
Space group	P2/n
a/Å	12.6956(3)
b/Å	7.2093(2)
c/Å	19.9362(5)
α/°	90
β/°	95.276(2)
γ/°	90
Volume/Å <sup>3</sup>	1816.96(8)
Z	4
ρ <sub>calc</sub> g/cm <sup>3</sup>	1.347
μ/mm <sup>-1</sup>	0.099
F(000)	776.0
Crystal size/mm <sup>3</sup>	0.3 × 0.2 × 0.18
Radiation	MoKα ( $\lambda$ = 0.71073)
2Θ range for data collection/°	3.656 to 55.034
Index ranges	-16 ≤ h ≤ 16, -9 ≤ k ≤ 9, -24 ≤ l ≤ 25
Reflections collected	25648
Independent reflections	3956 [R <sub>int</sub> = 0.0418, R <sub>sigma</sub> = 0.0298]
Data/restraints/parameters	3956/0/249
Goodness-of-fit on F <sup>2</sup>	1.067
Final R indexes [I>=2σ (I)]	R <sub>1</sub> = 0.0523, wR <sub>2</sub> = 0.1515
Final R indexes [all data]	R <sub>1</sub> = 0.0731, wR <sub>2</sub> = 0.1662
Largest diff. peak/hole / e Å <sup>-3</sup>	0.26/-0.30

Table 3 Fractional Atomic Coordinates ( $\times 10^4$ ) and Equivalent Isotropic Displacement Parameters ( $\text{\AA}^2 \times 10^3$ ) for curcumin.  $U_{\text{eq}}$  is defined as 1/3 of the trace of the orthogonalised  $U_{ij}$  tensor.

Atom	x	y	z	$U(\text{eq})$
O1	-1063.7(13)	6671(2)	8613.4(7)	68.0(4)
O2	-1176.6(13)	3931(2)	7697.8(7)	72.2(5)
O3	1315.5(10)	6145(2)	4678.6(7)	66.5(5)
O4	2990.7(10)	6501(2)	4155.1(6)	60.4(4)
O5	8758.3(10)	8796(2)	5234.8(7)	63.3(4)
C1	-1186(2)	2375(4)	7267.8(13)	77.7(7)
C2	-527.3(15)	5375(3)	7584.8(9)	50.9(5)
C3	-466.2(16)	6740(3)	8080.7(9)	52.4(5)
C4	238.8(17)	8179(3)	8040.1(10)	60.3(6)
C5	860.1(18)	8286(3)	7508.9(11)	60.7(5)
C6	781.8(15)	6983(3)	6999.3(10)	51.9(5)
C7	79.0(15)	5512(3)	7043.8(9)	51.5(5)
C8	1417.9(16)	7152(3)	6423.1(10)	55.3(5)
C9	1165.6(15)	6442(3)	5820.9(10)	52.9(5)
C10	1807.6(15)	6537(3)	5252.8(10)	47.3(4)
C11	2891.5(14)	6968(3)	5306.4(9)	46.5(4)
C12	3459.7(14)	6931(3)	4743.3(9)	45.5(4)
C13	4588.1(14)	7335(3)	4789.6(9)	48.1(5)
C14	5129.3(14)	7377(3)	4246.9(10)	47.3(4)
C15	6261.0(13)	7677(2)	4214.0(9)	43.1(4)
C16	6949.2(13)	8110(3)	4780.2(9)	45.8(4)
C17	8013.4(14)	8358(3)	4723.4(10)	46.1(4)
C18	8442.1(17)	8782(4)	5899.1(10)	67.3(6)
C19	8411.5(14)	8159(3)	4095.0(10)	47.6(5)
C20	7741.7(15)	7736(3)	3535.9(10)	52.0(5)
C21	6678.3(14)	7510(3)	3595.6(10)	50.1(5)

Table 4 Anisotropic Displacement Parameters ( $\text{\AA}^2 \times 10^3$ ) for curcumin. The Anisotropic displacement factor exponent takes the form:  $-2\pi^2[h^2a^*{}^2U_{11} + 2hka^*b^*U_{12} + \dots]$ .

Atom	$U_{11}$	$U_{22}$	$U_{33}$	$U_{23}$	$U_{13}$	$U_{12}$
O1	74.4(10)	79.0(11)	54.4(9)	-8.5(8)	26.9(8)	-1.0(8)
O2	73.0(10)	89.0(12)	57.4(9)	-13.0(8)	21.3(7)	-20.8(8)
O3	40.1(7)	108.5(13)	51.4(8)	3.9(8)	7.1(6)	-11.1(8)
O4	39.9(7)	100.0(12)	41.8(7)	0.3(7)	5.6(6)	-6.1(7)
O5	41.3(7)	90.1(11)	57.7(8)	-3.2(8)	0.6(6)	-11.9(7)
O6	34.8(7)	93.1(11)	69.7(9)	3.9(9)	10.2(7)	-5.4(7)
C1	79.1(16)	80.5(17)	74.5(16)	-9.2(13)	12.1(13)	-19.5(13)
C2	47.8(10)	60.6(12)	45.0(10)	0.6(9)	7.4(8)	-4.4(9)
C3	54.7(11)	62.0(12)	41.6(10)	-1.3(9)	10.7(9)	7.0(9)
C4	70.1(14)	59.9(13)	52.1(12)	-7.8(10)	12.3(10)	2.4(10)
C5	62.4(13)	60.0(13)	60.7(13)	-1.8(10)	10.7(10)	-3.7(10)
C6	50.7(11)	55.0(12)	50.9(11)	4.7(9)	9.8(9)	4.4(9)
C7	53.2(11)	59.3(12)	43.0(10)	-5.7(9)	9.4(8)	-0.8(9)
C8	51.0(11)	54.9(12)	61.3(12)	3.3(10)	12.7(9)	-4.2(9)
C9	44.1(10)	58.2(12)	57.8(12)	7.9(10)	12.1(9)	-0.5(8)
C10	45.7(10)	50.1(10)	47.5(10)	8.1(9)	11.6(8)	3.3(8)
C11	42.8(10)	54.1(11)	42.6(10)	1.4(8)	4.3(8)	-0.5(8)
C12	39.9(9)	51.4(10)	45.4(10)	7.8(8)	4.4(8)	0.7(8)
C13	37.2(9)	59.7(12)	47.0(10)	4.6(9)	1.8(8)	-3.1(8)
C14	38.6(9)	53.3(11)	49.6(10)	8.3(9)	2.1(8)	-2.4(8)
C15	36.3(9)	45.4(10)	47.7(10)	8.3(8)	3.7(8)	-1.0(7)
C16	38.5(9)	52.3(11)	47.2(10)	4.2(8)	7.3(8)	-0.9(8)
C17	36.1(9)	48.2(10)	53.3(11)	2.3(9)	0.0(8)	-2.1(7)
C18	56.1(12)	89.5(17)	55.0(12)	-5.2(12)	-2.6(10)	-9.5(11)
C19	34.3(9)	52.4(11)	57.0(11)	9.3(9)	9.2(8)	0.0(7)
C20	44.6(10)	64.8(12)	47.6(11)	8.2(9)	10.6(8)	-0.2(9)
C21	41.4(10)	61.3(12)	47.1(10)	7.0(9)	1.6(8)	-1.7(8)

Table 5 Bond Lengths for curcumin.

Atom	Atom	Length/ $\text{\AA}$	Atom	Atom	Length/ $\text{\AA}$
O4	C12	1.303(2)	C17	C19	1.401(3)
O5	C17	1.362(2)	C10	C11	1.405(3)
O5	C18	1.419(2)	C10	C9	1.457(3)
O6	C19	1.368(2)	C19	C20	1.373(3)
O3	C10	1.284(2)	C14	C13	1.334(3)
O1	C3	1.362(2)	C21	C20	1.376(3)
O2	C2	1.359(2)	C7	C6	1.394(3)
O2	C1	1.411(3)	C7	C2	1.385(2)
C15	C16	1.398(2)	C6	C8	1.469(3)
C15	C14	1.460(2)	C6	C5	1.381(3)
C15	C21	1.391(3)	C2	C3	1.392(3)
C12	C11	1.389(2)	C3	C4	1.377(3)
C12	C13	1.456(2)	C9	C8	1.317(3)
C17	C16	1.378(2)	C4	C5	1.379(3)

Table 6 Bond Angles for curcumin.

Atom	Atom	Atom	Angle/ <sup>o</sup>	Atom	Atom	Atom	Angle/ <sup>o</sup>
C17	O5	C18	117.41(15)	C12	C11	C10	120.79(17)
C2	O2	C1	118.64(17)	C14	C13	C12	122.01(17)
C16	C15	C14	122.78(16)	C20	C21	C15	121.53(18)
C21	C15	C16	118.32(15)	C2	C7	C6	120.60(18)
C21	C15	C14	118.90(16)	C19	C20	C21	119.71(17)
O4	C12	C11	120.23(16)	C7	C6	C8	120.96(18)
O4	C12	C13	118.04(16)	C5	C6	C7	118.29(18)
C11	C12	C13	121.72(17)	C5	C6	C8	120.75(19)
O5	C17	C16	125.95(17)	O2	C2	C7	124.95(18)
O5	C17	C19	114.22(15)	O2	C2	C3	114.76(17)
C16	C17	C19	119.83(17)	C7	C2	C3	120.24(18)
C17	C16	C15	120.50(17)	O1	C3	C2	121.95(19)
O3	C10	C11	120.61(17)	O1	C3	C4	119.02(18)
O3	C10	C9	114.93(16)	C4	C3	C2	119.00(18)
C11	C10	C9	124.43(18)	C8	C9	C10	125.71(19)
O6	C19	C17	121.13(17)	C9	C8	C6	125.12(19)
O6	C19	C20	118.76(17)	C3	C4	C5	120.52(19)
C20	C19	C17	120.10(16)	C4	C5	C6	121.3(2)
C13	C14	C15	128.45(18)				

Table 7 Hydrogen Atom Coordinates ( $\text{\AA} \times 10^4$ ) and Isotropic Displacement Parameters ( $\text{\AA}^2 \times 10^3$ ) for curcumin.

Atom	x	y	z	U(eq)
H6	9789	8510	4398	98
H3	1743	6038	4397	100
H1	-1354	5657	8622	102
H16	6687	8233	5198	55
H14	4734	7192	3836	57
H11	3233	7281	5724	56
H13	4942	7570	5210	58
H21	6228	7238	3214	60
H7	17	4615	6707	62
H20	8005	7604	3119	62
H9	521	5826	5752	63
H8	2048	7813	6489	66
H4	297	9086	8373	72
H5	1341	9255	7494	73
H18A	7900	9695	5936	101
H18B	9039	9065	6213	101
H18C	8173	7578	5997	101
H1A	-1560	2678	6841	117
H1B	-1532	1359	7468	117
H1C	-472	2031	7202	117

## checkCIF/PLATON report

Structure factors have been supplied for datablock(s) sk03bs291018

THIS REPORT IS FOR GUIDANCE ONLY. IF USED AS PART OF A REVIEW PROCEDURE FOR PUBLICATION, IT SHOULD NOT REPLACE THE EXPERTISE OF AN EXPERIENCED CRYSTALLOGRAPHIC REFEREE.

No syntax errors found. [CIF dictionary](#) [Interpreting this report](#)

### Datablock: sk03bs291018

---

Bond precision: C-C = 0.0028 Å Wavelength=0.71073

Cell:	a=12.6956(3)	b=7.2093(2)	c=19.9362(5)
	alpha=90	beta=95.276(2)	gamma=90

Temperature: 298 K

	Calculated	Reported
Volume	1816.96(8)	1816.96(8)
Space group	P 2/n	P 1 2/n 1
Hall group	-P 2yac	-P 2yac
Moietiy formula	C21 H20 O6	C21 H20 O6
Sum formula	C21 H20 O6	C21 H20 O6
Mr	368.37	368.37
Dx, g cm <sup>-3</sup>	1.347	1.347
Z	4	4
Mu (mm <sup>-1</sup> )	0.099	0.099
F000	776.0	776.0
F000'	776.45	
h, k, lmax	16, 9, 25	16, 9, 25
Nref	4181	3956
Tmin, Tmax	0.977, 0.982	0.484, 1.000
Tmin'	0.971	

Correction method= # Reported T Limits: Tmin=0.484 Tmax=1.000  
AbsCorr = MULTI-SCAN

Data completeness= 0.946 Theta(max)= 27.517

R(reflections)= 0.0523( 2815) wR2(reflections)= 0.1662( 3956)

S = 1.067 Npar= 249

---

The following ALERTS were generated. Each ALERT has the format  
test-name\_ALERT\_alert-type\_alert-level.  
Click on the hyperlinks for more details of the test.